



Эволюционная иммунология
Лекция 7 «Трансплантационный
иммунитет»

Шилов Е.С.
26 марта 2018

Временные параметры и особенности отторжения алло(ксено)трансплантатов у животных различных типов

Тип, класс	Вид	Алло-, ксено- трансплантат	Время выживания, дни		Форма отторжения	
			Первичный трансплантат	Вторичный трансплантат		
Губки	<i>Ephydatia fluviatilis</i>	Ал.	—	—	Образование коллагеноподобного слоя	
	<i>Axinella polypoides</i>	Ал.	—	—	Образование зоны некроза	
	<i>Ephydatia fluviatilis</i> , <i>Eph. mulleri</i> , <i>Spongilla lacustris</i> , <i>Eunapius fragilis</i>	Кс.	—	—	То же	
	<i>Hymeniacidon sinapium</i>	Ал.	—	—	»	
	<i>Callispongia diffusa</i>	Ал.	11,3	7,0	»	
	<i>Xestospongia exigus</i>	Ал.	8,2	3,2	»	
	<i>Hymeniacidon perleve</i>	Ал.	10,4	7,0	»	
	Кишечно- полостные	<i>Hydractinia echinata</i>	Ал.	—	—	Гиперпластический рост
		<i>Anthopleura elegantissima</i> , <i>Anth. krebsi</i> , <i>Leptogorgia vitgulata</i>	Ал., Кс.	—	—	Гиперпластический рост или образование зоны некроза
<i>Eunicella stricta</i> , <i>Lophogorgia sarmentosa</i>		Ал., Кс.	—	—	Образование зоны некроза	
<i>Montipora verrucosa</i>		Ал.	22,0	11,6	То же	
Немертины		<i>Lineus sanguineus</i> → <i>L. ruber</i>	Кс.	15,4	8,6	Образование зоны некроза, депигментация ткани
		<i>L. ruber</i> → <i>L. sanguineus</i>	Кс.	16,4	8,6	То же
Членистоногие	<i>Blamberus giganteus</i> → <i>Periplaneta americana</i>	Кс.	>3	—	Инкапсуляция	
Иглокожие	<i>Cucumaria tricolor</i>	Ал.	129—185	≈50	Образование зоны некроза, депигментация ткани	
	<i>Dermasterias imbricata</i>	Ал.	—	—	То же	
	<i>Strongylocentrotus droebachiensis</i>	Ал.	30	12	»	
Оболочники	<i>Styela plicata</i>	Ал.	38	28	»	

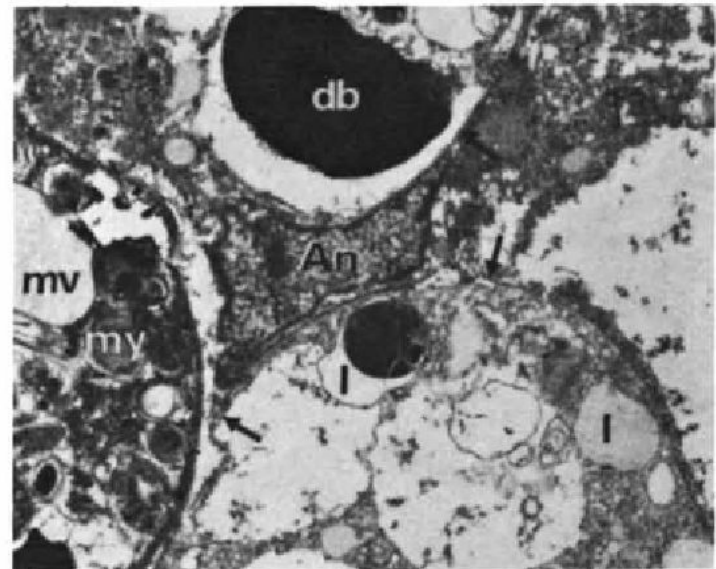
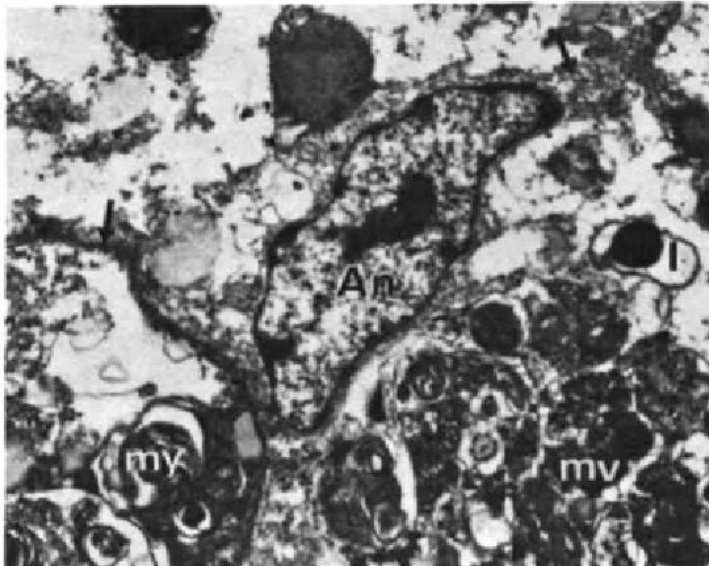
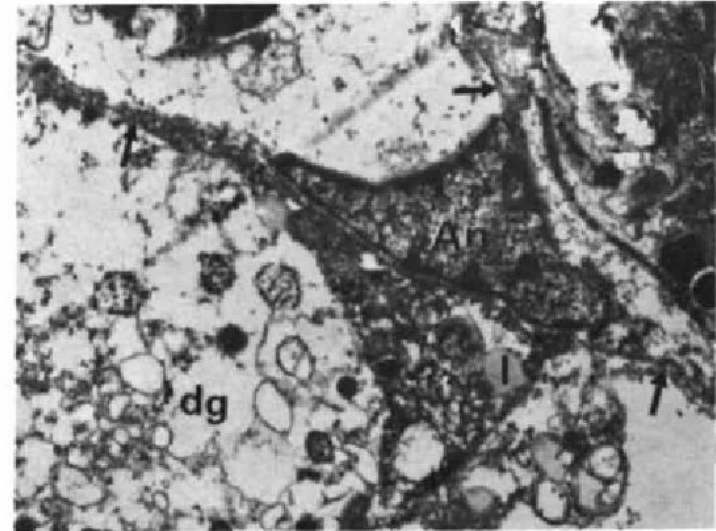
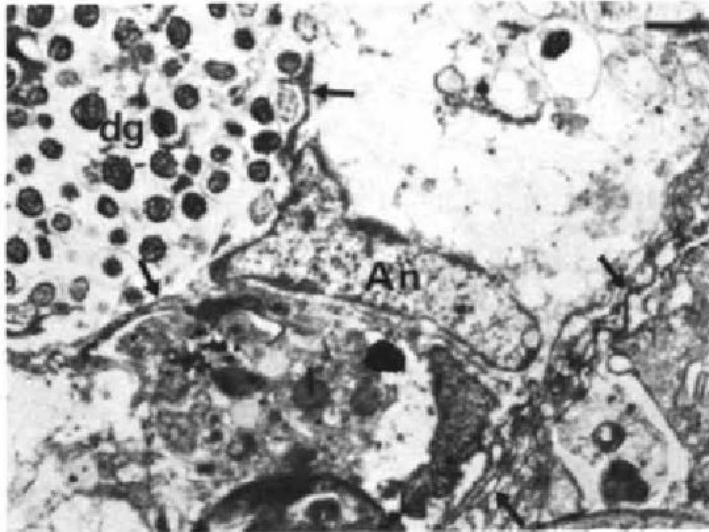
Table 1. Phyletic survey of chimera formation and somatic tissue compatibility*

Group	Mechanism of chimera formation	Evidence of somatic tissue compatibility system[†]
Protists:		
Dictyostelids	Coaggregation, mutation	Failure to coaggregate, separation during migration or culmination
Myxomycetes	Plasmodium fusion	Failure of plasmoidia to fuse
Fungi:		
Phycomycetes	Mutation	} Failure of hyphal fusion
Ascomycetes	Hyphal fusion	
Basidiomycetes	Hyphal fusion	
Plants:		
Rhodophyta	} Sporeling coalescence	} Root fusion
Gymnosperms		
Angiosperms		
Animals:		
Porifera	Larval fusion	Failure of fusion, strain-specific reaggregation
Coelenterates	Planulae fusion	Failure to fuse
Annelids	}	} Graft rejection
Molluscs		
Echinoderms		
Arthropods		
Chordates		
Ascidians	Colony fusion	Failure to fuse
Vertebrates	Bovine twins, malignancy	Lymphocyte-mediated immune response

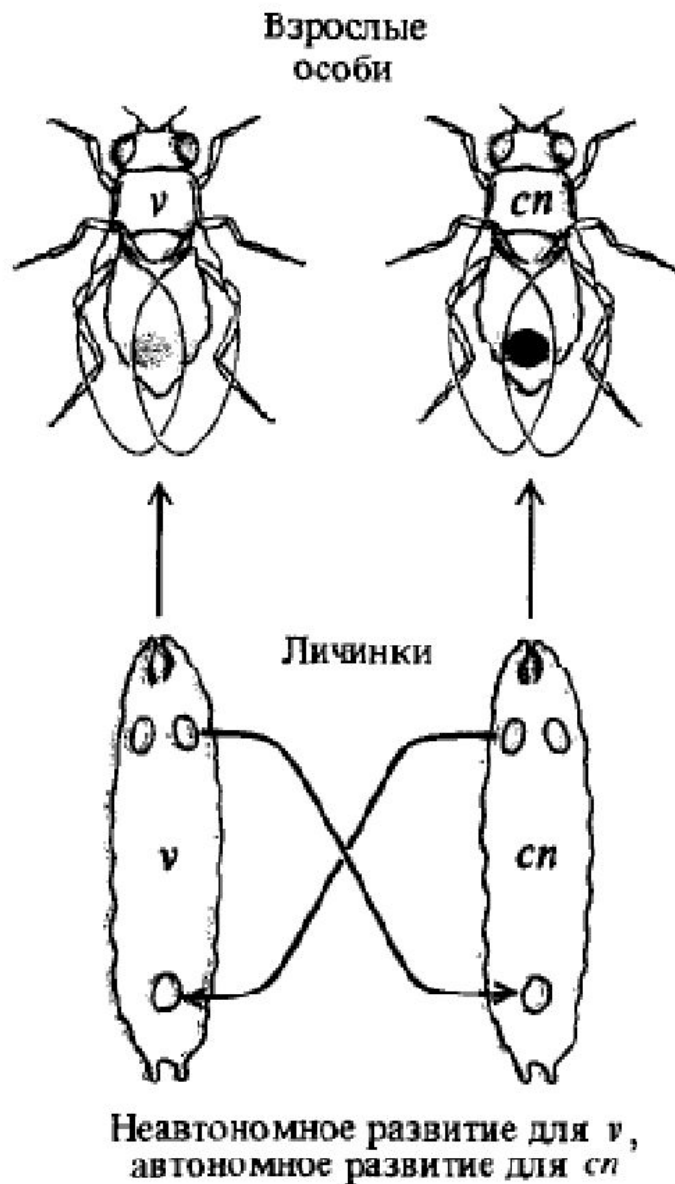
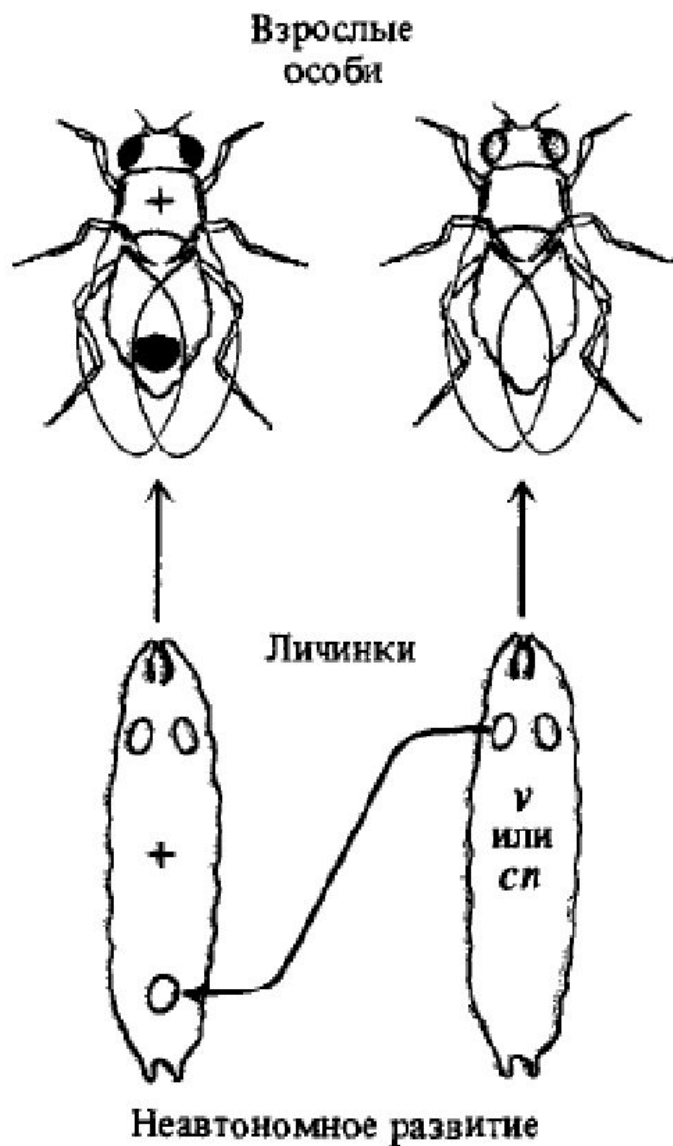
TABLE 1: Invertebrates exhibiting induction, specificity, and/or immunological memory in the nonpathogenic context of first and second challenges with transplants (n.a.: not analyzed).

Species	Challenge	Specificity	Memory	References
Porifera				
<i>C. diffusa</i>	Tissue (allograft)	+	+	Smith and Hildemann, 1986 [35]
<i>G. cydonium</i>	transplantation	+	n.a.	Müller et al., 1999 [36]
Cnidaria				
<i>E. stricta</i>	Colonial contact/allograft,	+	n.a.	Theodor, 1970 [37]
<i>M. verrucosa</i>	xenograft	+	+	Hildemann et al., 1977 [38]
Nemertea				
<i>L. ruber</i>	Tissue (allograft, xenograft)	+	+	Bierne and Langlet, 1974 [39];
<i>L. lacteus</i>	transplantation			Langlet and Bierne, 1975 [40]; 1982 [41]; 1984 [42]
Annelida				
Earthworms <i>L. terrestris</i> <i>E. fetida</i>	Tissue (allograft, xenograft)	+	+	Cooper, 1969 [43]; Cooper and Roch, 1986 [44]
Leeches <i>H. medicinalis</i> <i>G. complanata</i>	Tissue (allograft, xenograft)	+	+	Tettamanti et al., 2003 [45]
Mollusca				
<i>I. fruhstorferi</i>	Tissue (allograft)	+	n.a.	Yamaguchi et al., 1999 [46]
Arthropoda				
<i>P. americana</i> <i>B. orientalis</i>	Tissue (allograft, xenograft)	+	+	Hartmann and Karp, 1989 [47]; Karp and Meade, 1993 [48]
Echinodermata				
<i>S. purpuratus</i> <i>L. pictus</i>	Tissue (allograft)	+	–	Coffaro and Hinegardner, 1977 [49]
<i>D. imbricata</i>	transplantation	+	+	Karp and Hildemann, 1976 [50]
Tunicata				
<i>B. schlosseri</i>	Colonial contact/allograft	+	n.a.	Rinkevich et al., 1998 [51]; Scofield et al., 1982 [52];
<i>S. plicata</i>		+	+	Raftos et al., 1987 [53]; 1988 [54]

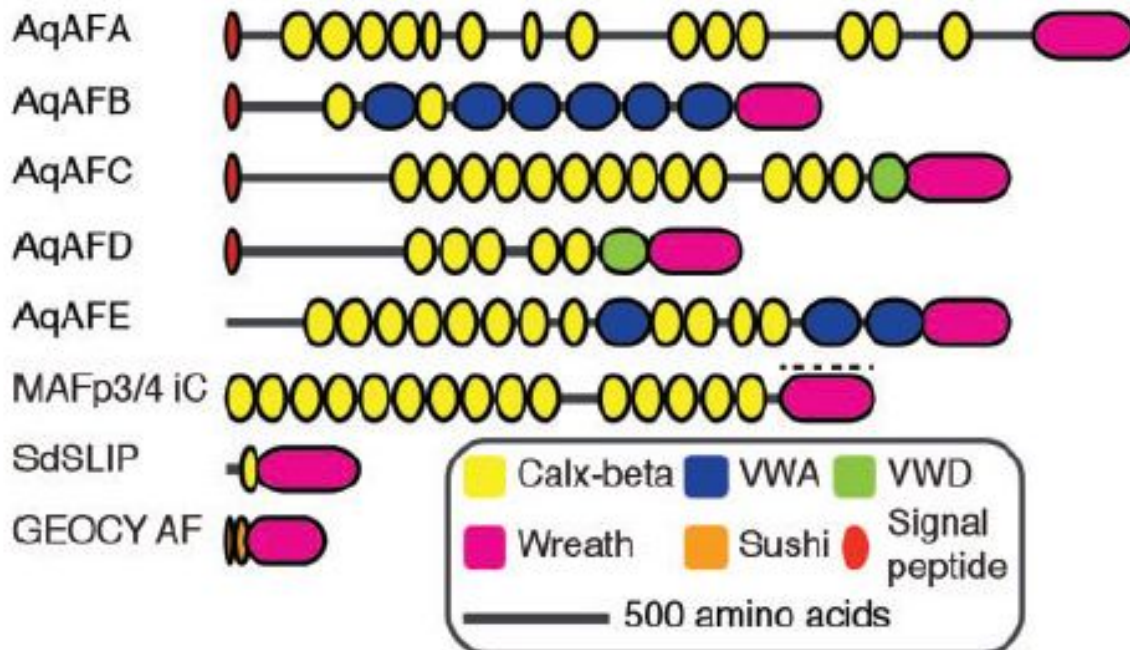
Амебоциты инфильтрировались в аллотрансплантант немертины



Пересадка имагинальных дисков дрозофилы



Факторы агрегации губок



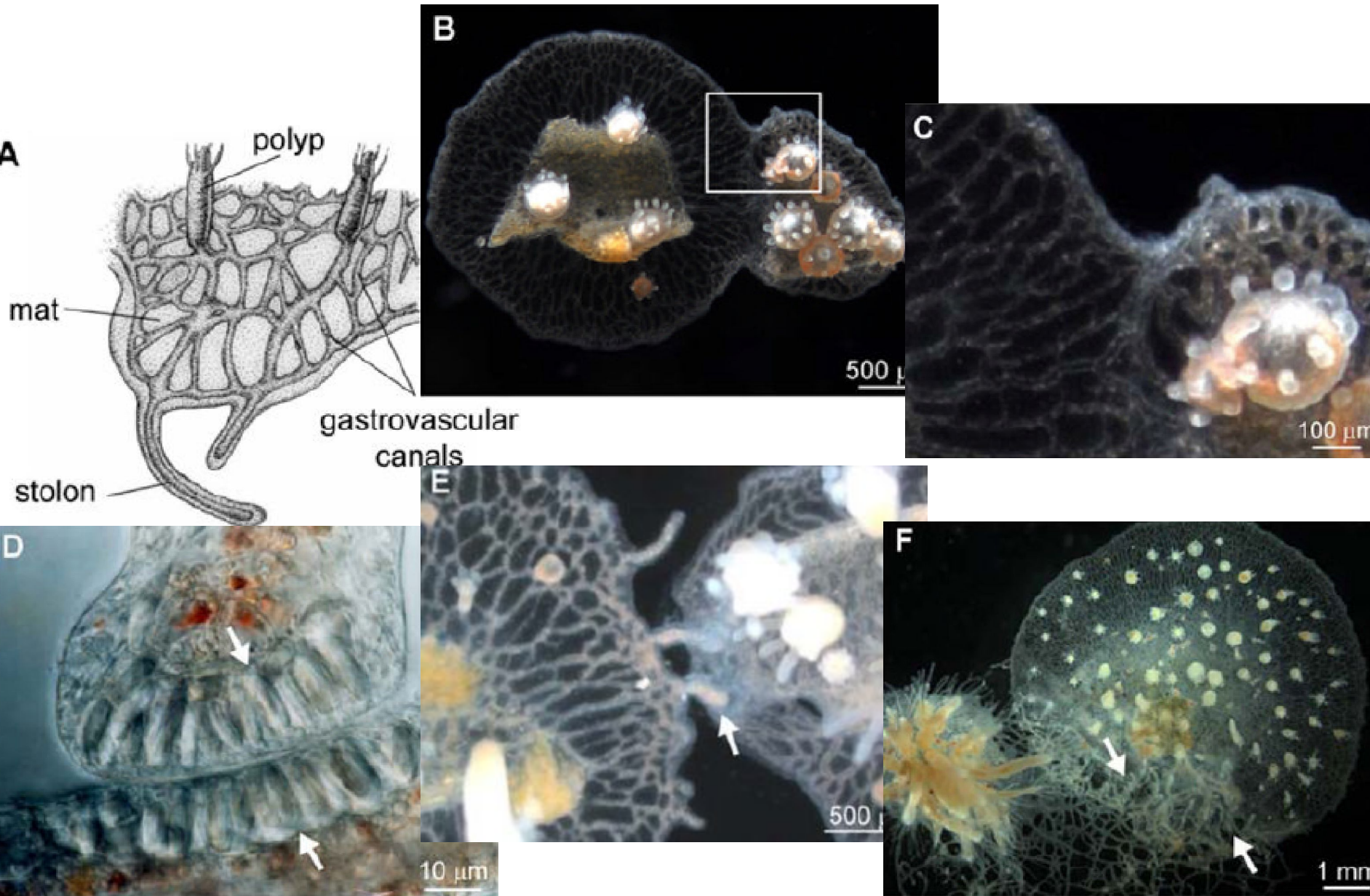
Amphimedon sp.



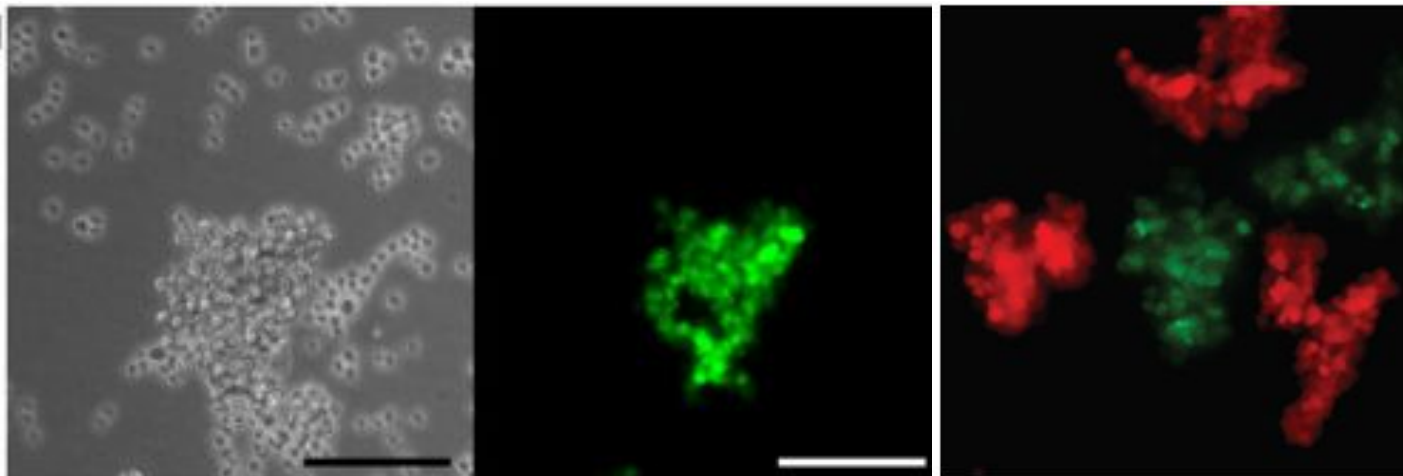
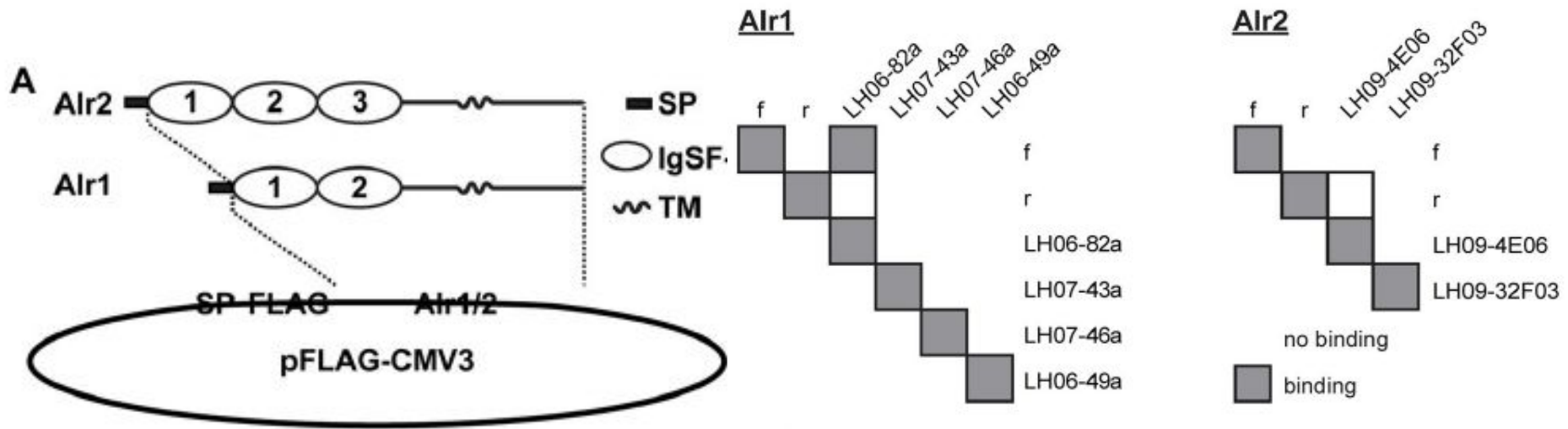
Clathria sp.

FIG. 1. Domain architecture of aggregation factor proteins. Aggregation factor proteins from *Amphimedon queenslandica* (AqAFA–AqAFE), *Clathria prolifera* (MAFp3/4 iC), *Suberites domuncula* (SdSLIP) and *Geodia cydonium* (GEOCY AF) are shown. Colored shapes represent predicted protein domains and sequence features. Models are approximately to scale. For *C. prolifera*, MAFp3 (indicated by dashed line) and MAFp4 are represented as a single contiguous sequence; the longest isoform (isoform C) is shown. iC, isoform C; VWA, von Willebrand type A domain; VWD, von Willebrand type D domain.

Слияние (верхний ряд) и отторжение (нижний) колоний у *Hydractinia*

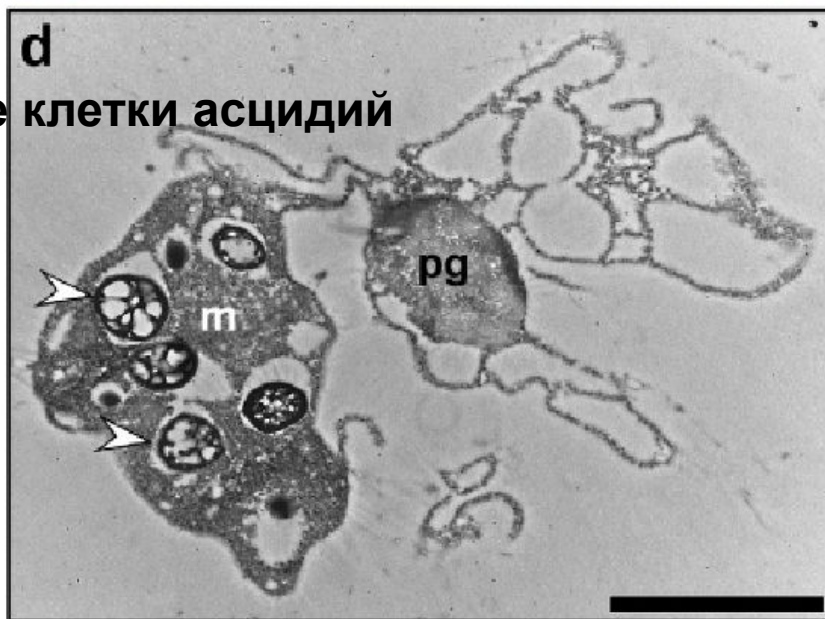
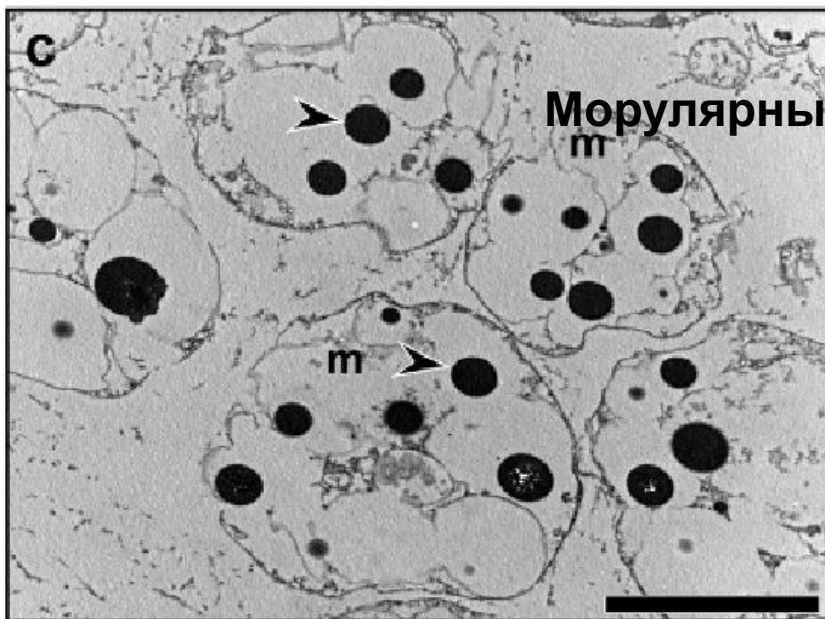
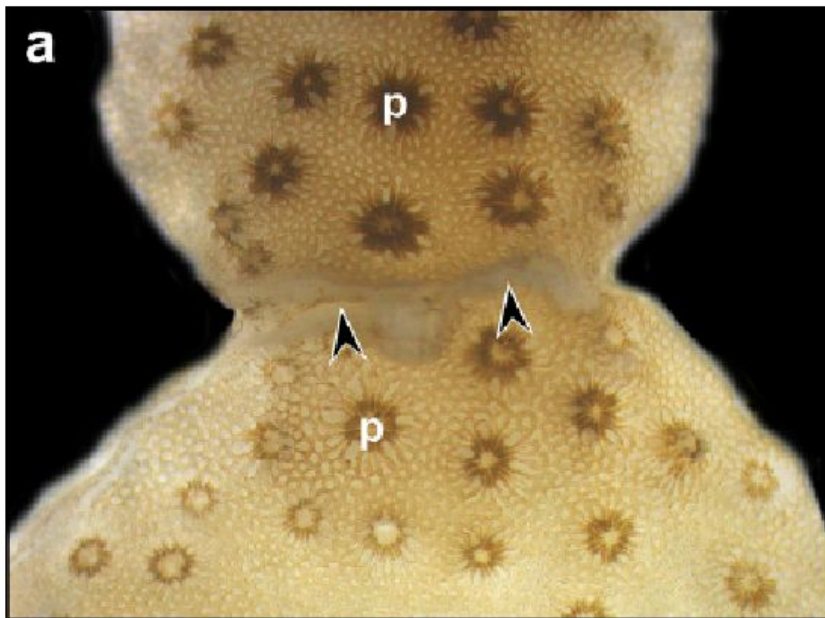


Гомофильное связывание изоформ Alr1 и Alr2 обеспечивает сегрегацию клеток

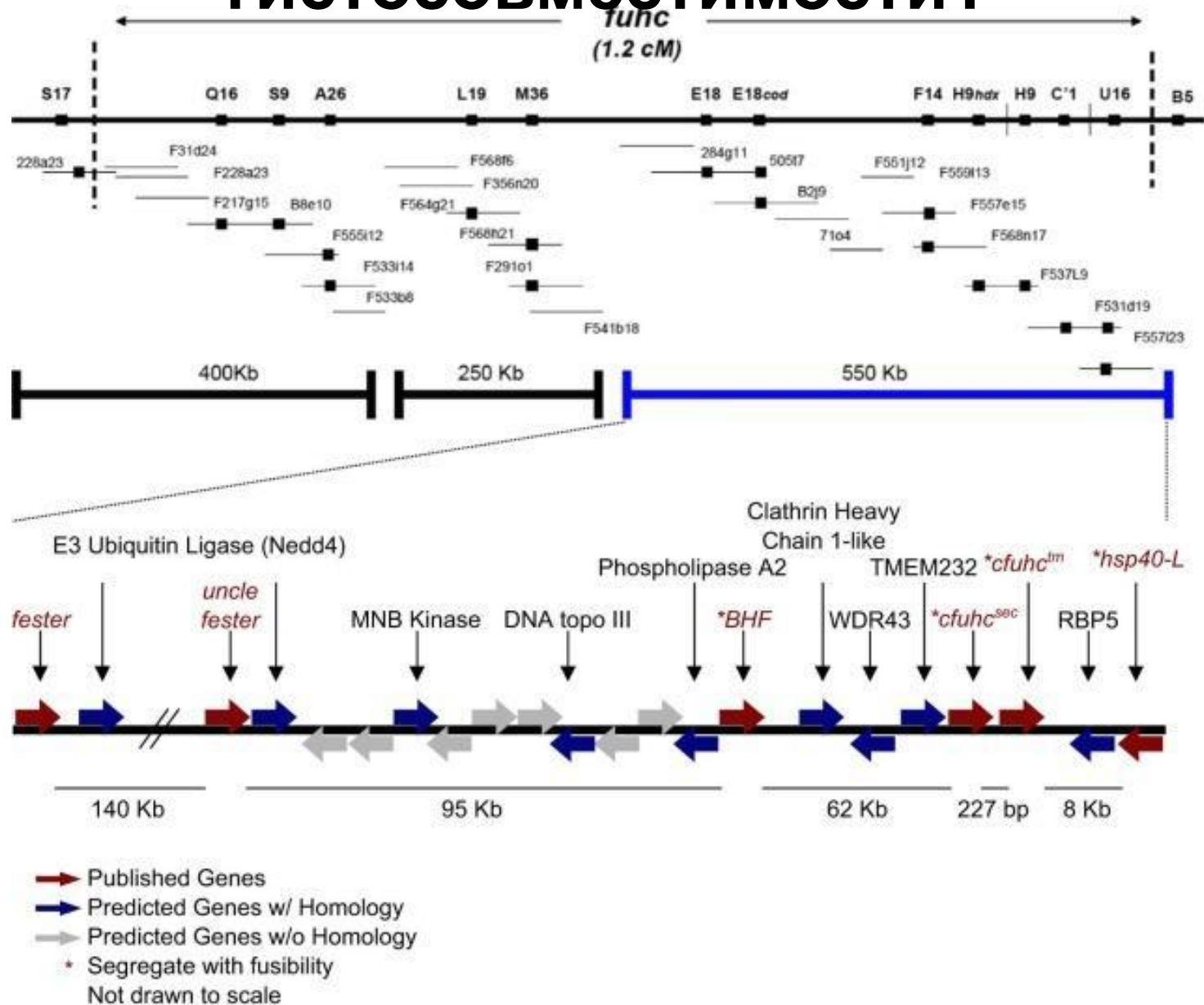


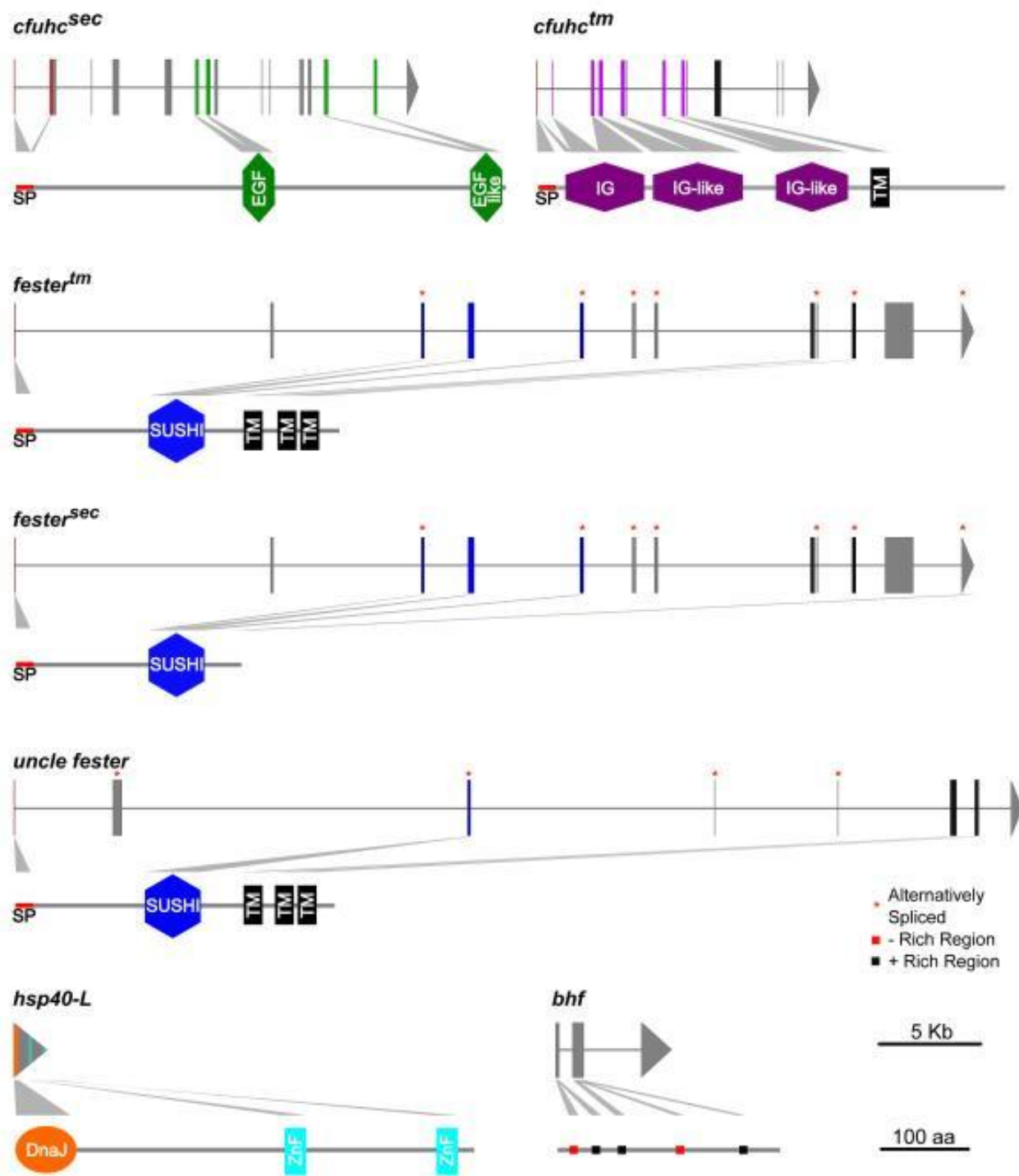
Агрегаты клеток СНО, трансфицированных флуоресцентным маркером и специфической изоформой Alr1

Полип *Stylophora* и асцидия *Botryllus*

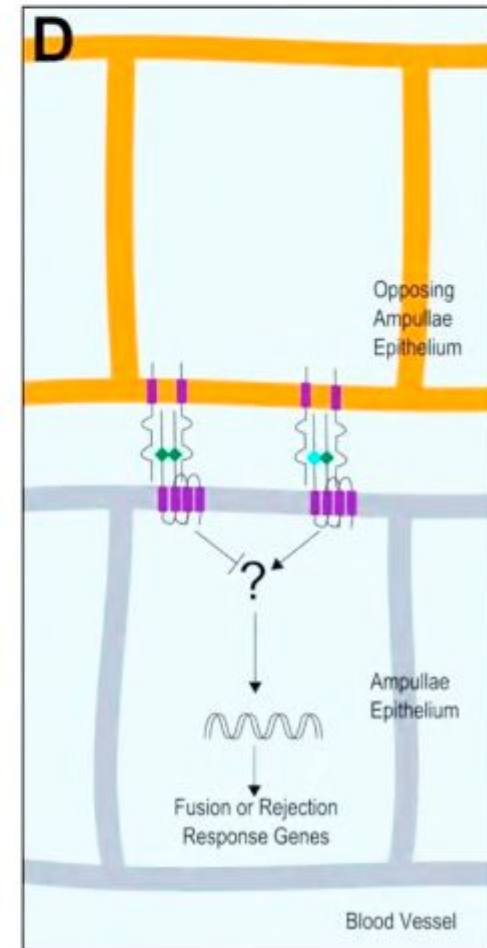
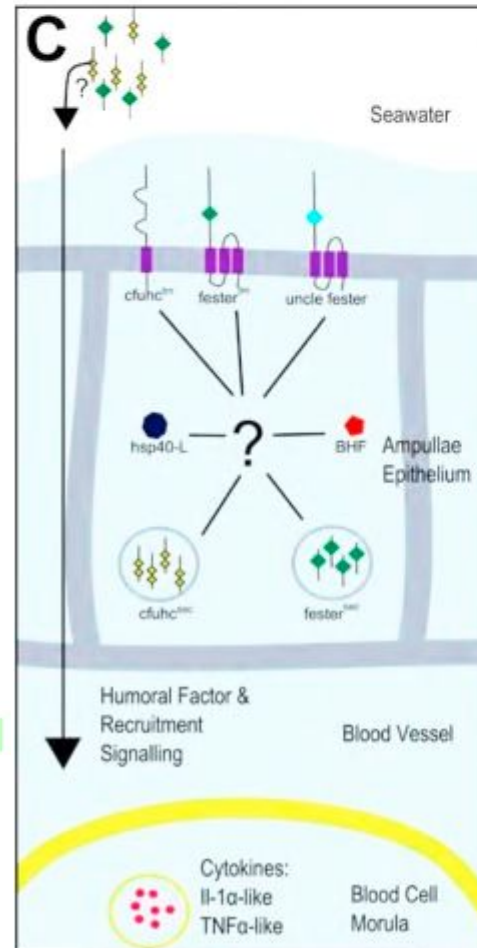
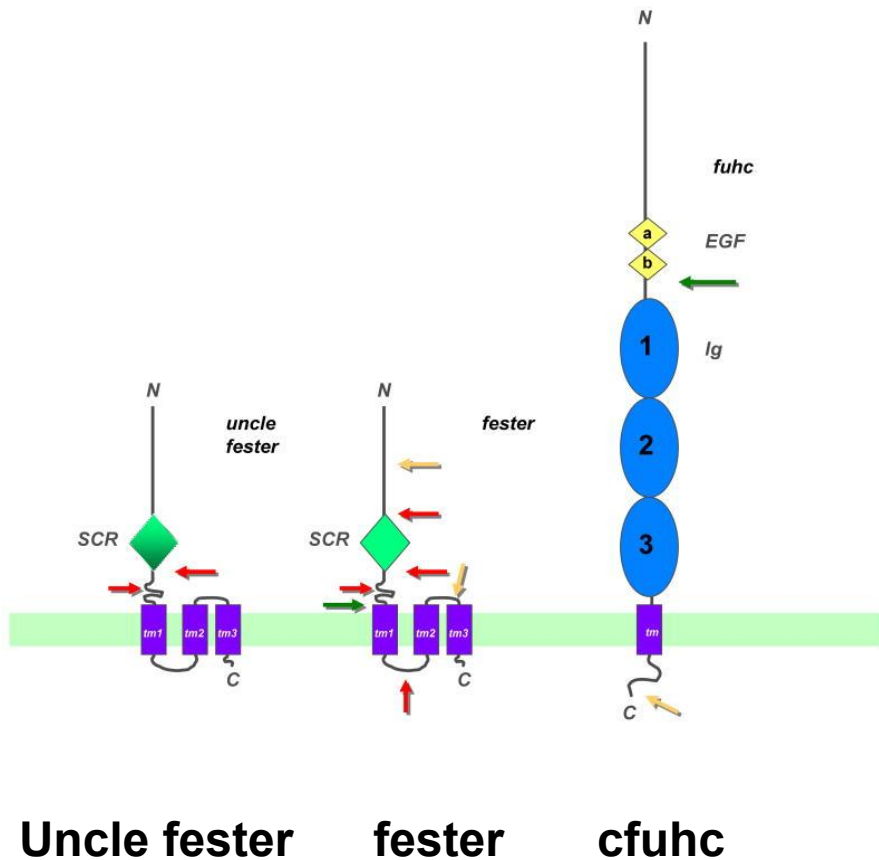


Локус *fuhc* асцидий содержит 6 генов гистосовместимости?

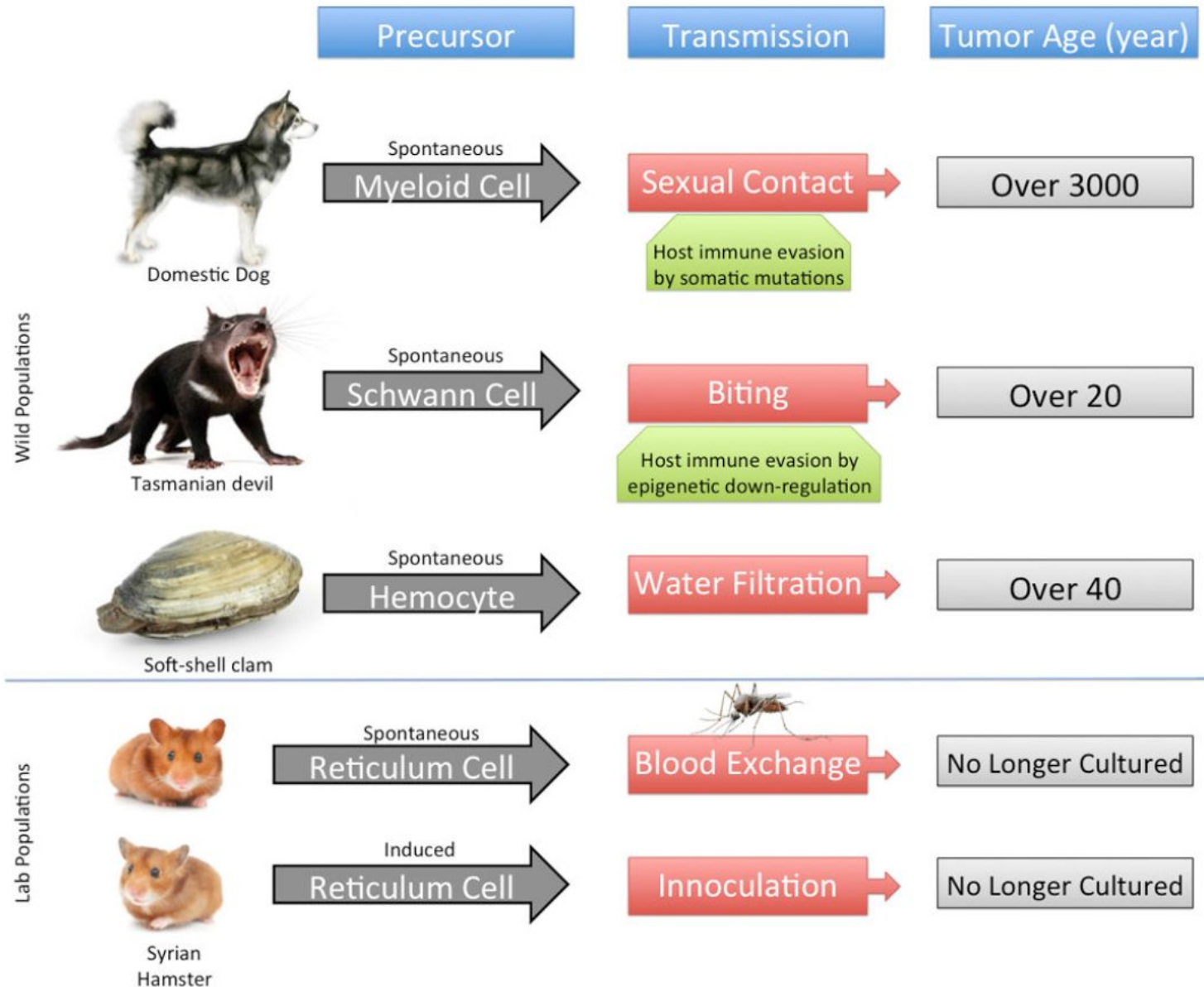




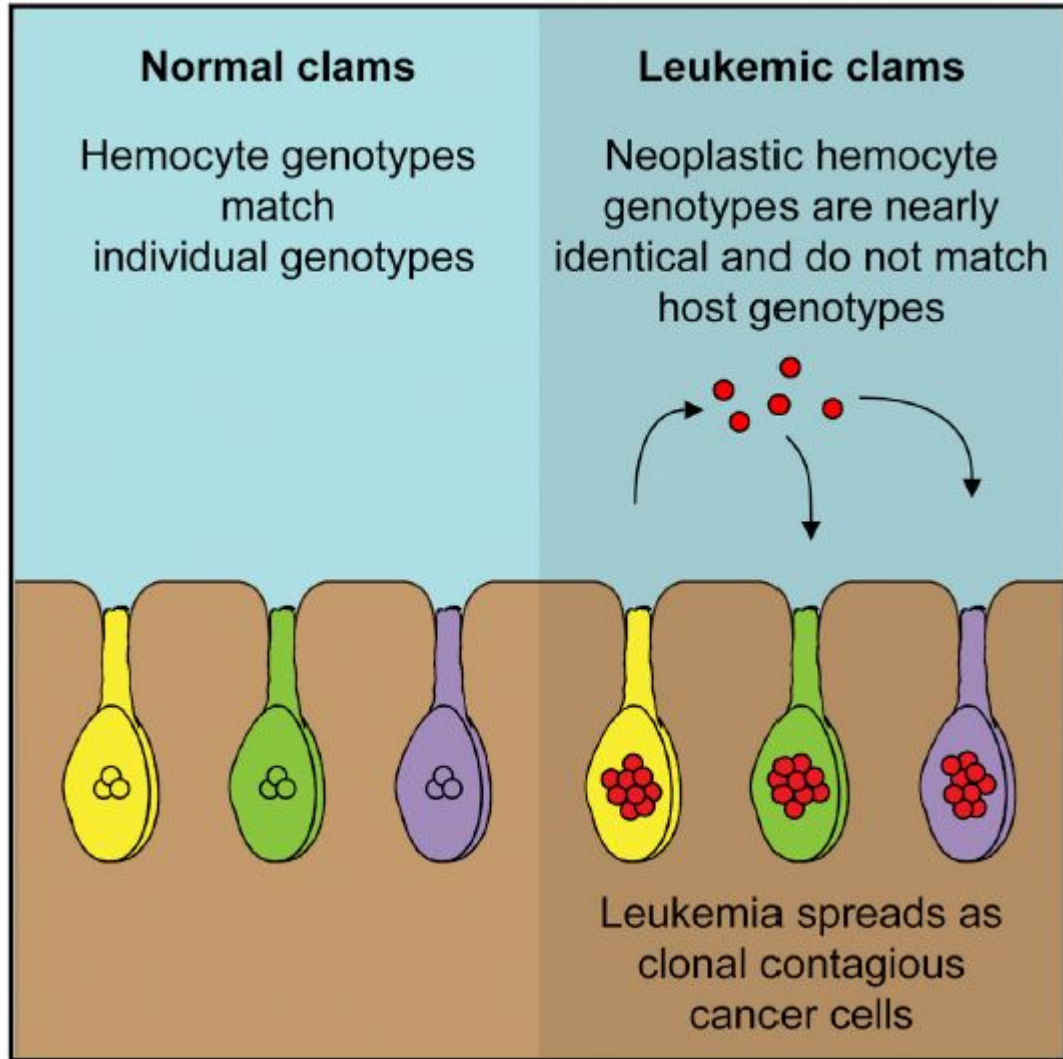
Адгезионные молекулы асцидий



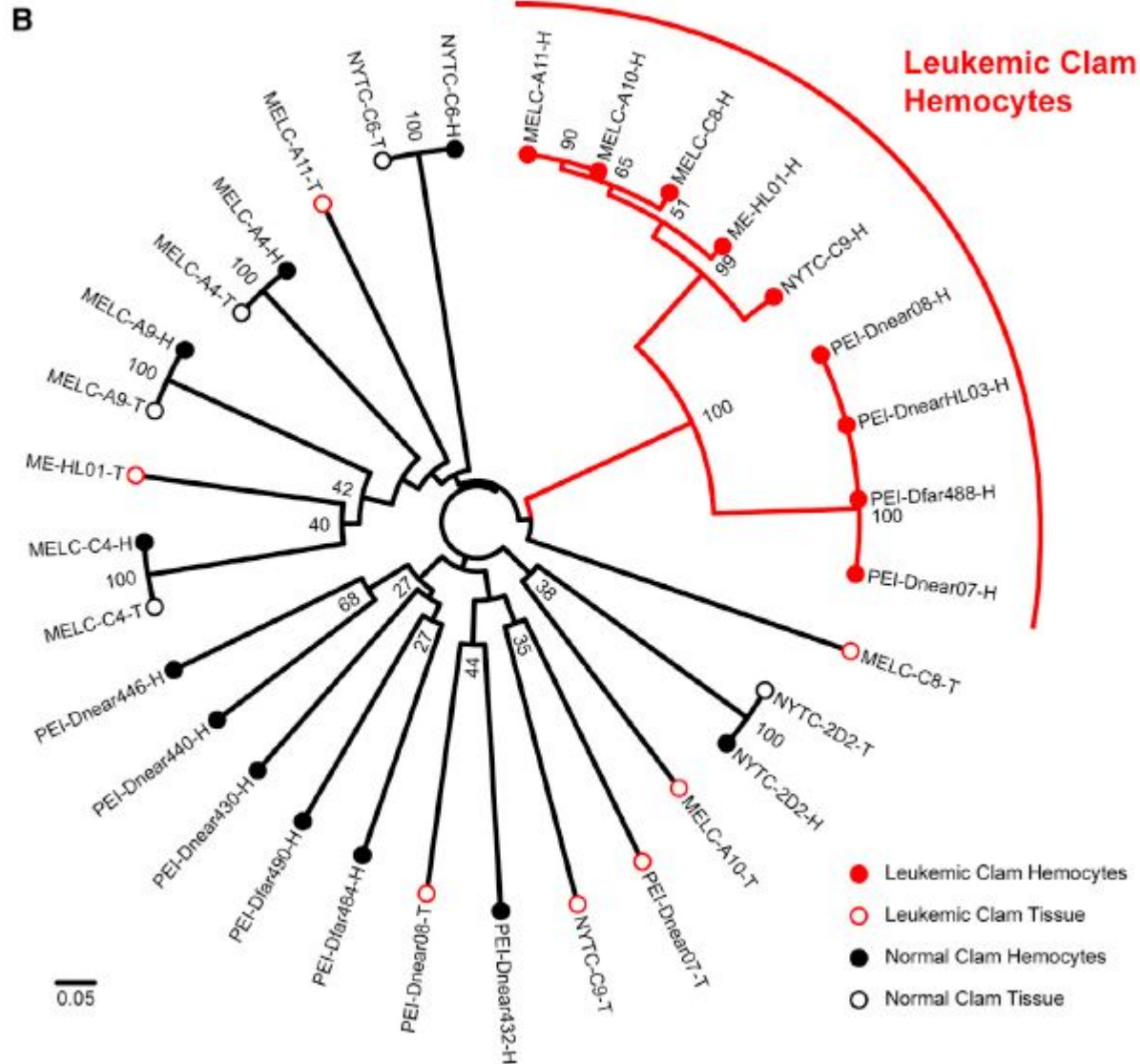
Трансмиссибельные опухоли



Лейкемия моллюсков *Mya arenaria*



Опухолевые клетки имеют множественные копии транспозона Steamer и демонстрируют общее происхождение

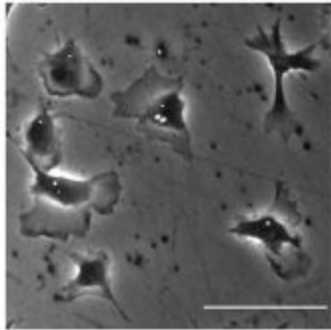


Гольфстрим разносит опухолевые клетки моллюсков по мировому океану?

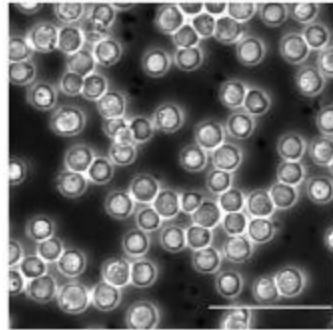
A



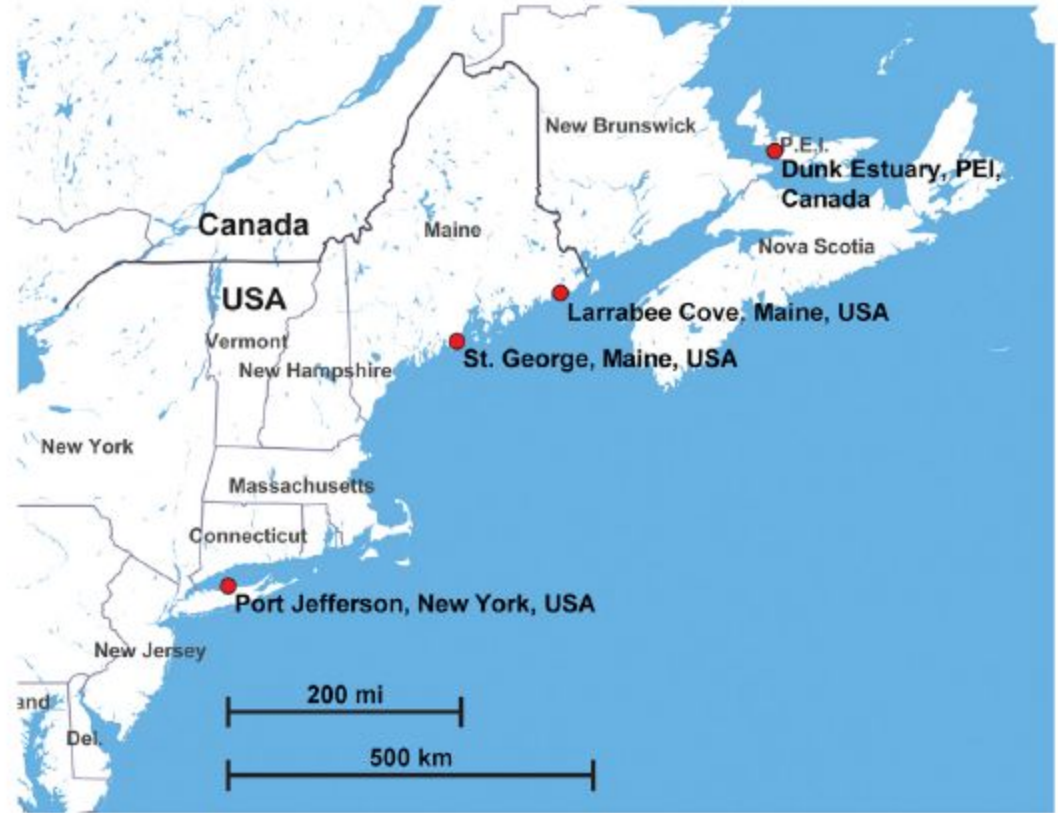
B



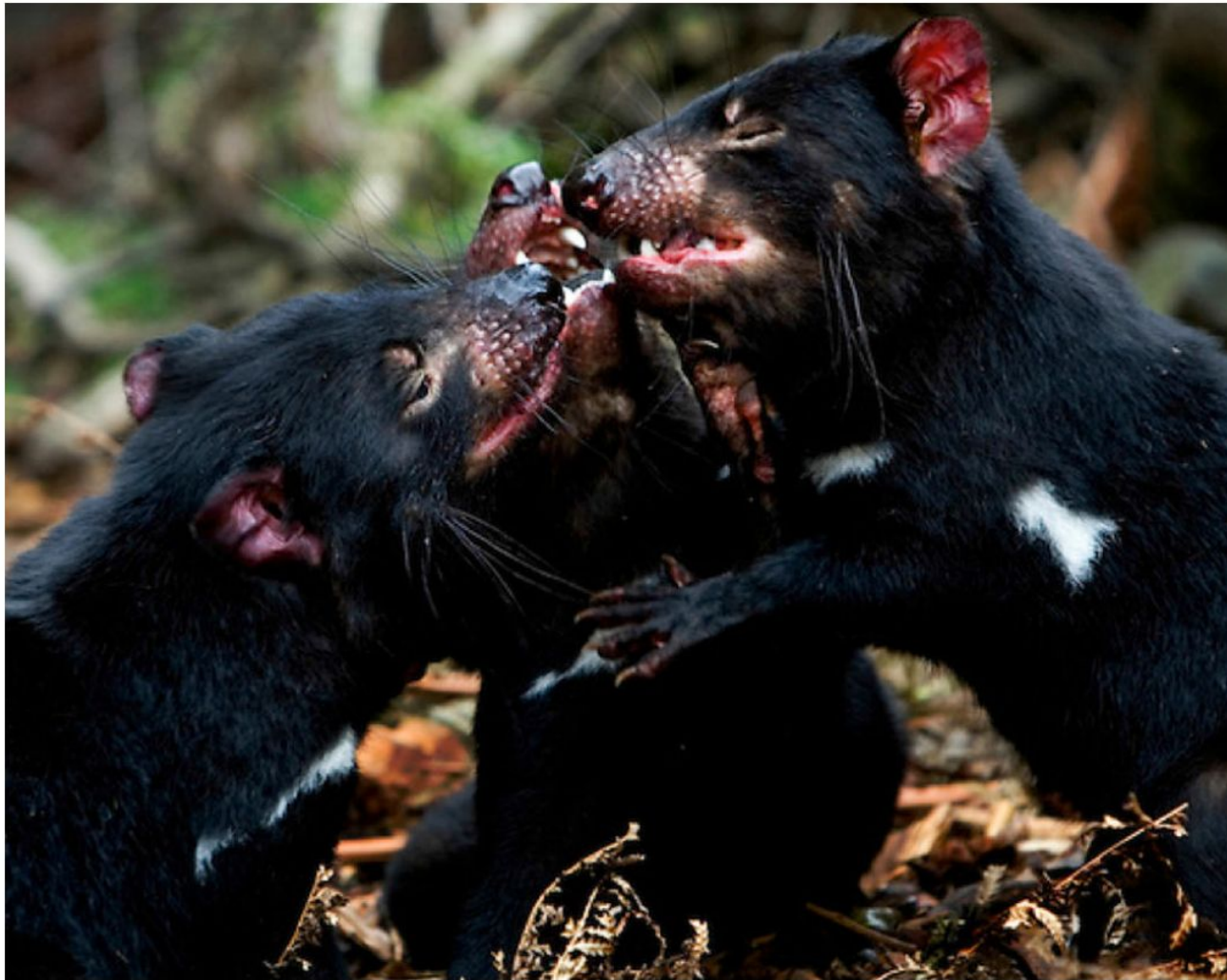
C



D



DFTD - Devil Facial Tumour Disease



Высокоагрессивная опухоль, возникшая на основе Шванновской клетки, впервые описана в 1996 году, передается при укусах.

Распространение DFTD

A



1996



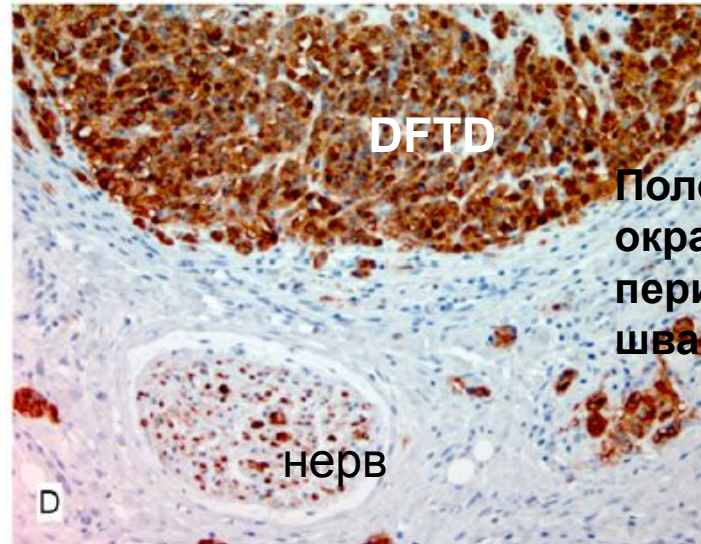
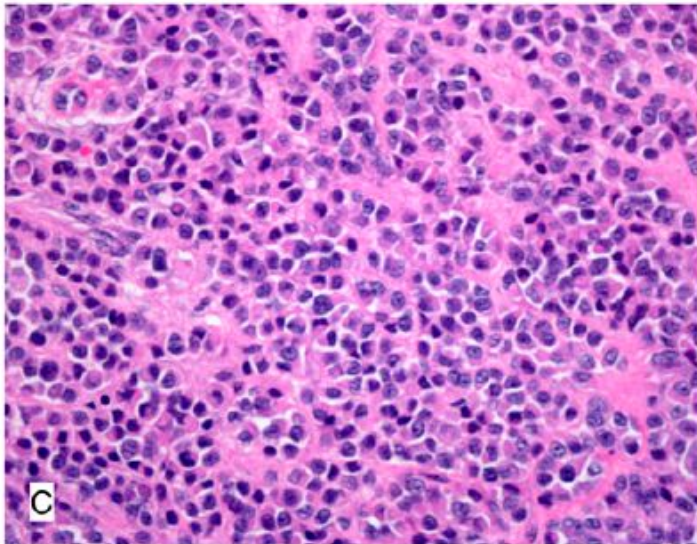
2005



2014



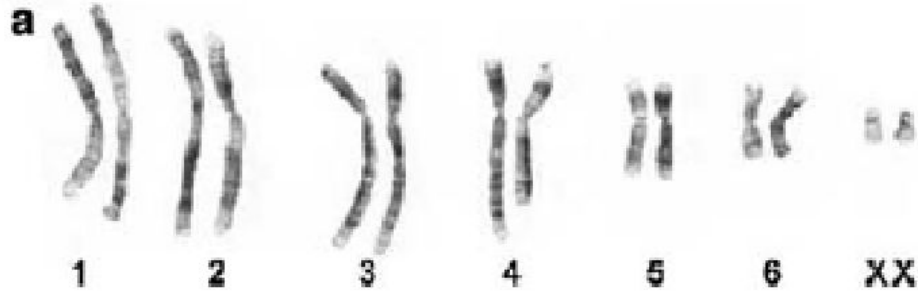
Происхождение DFTD доказывается с помощью иммуногистохимии



Положительное
окрашивание на
периаксин - белок
шванновских клеток

Клональность DFTD

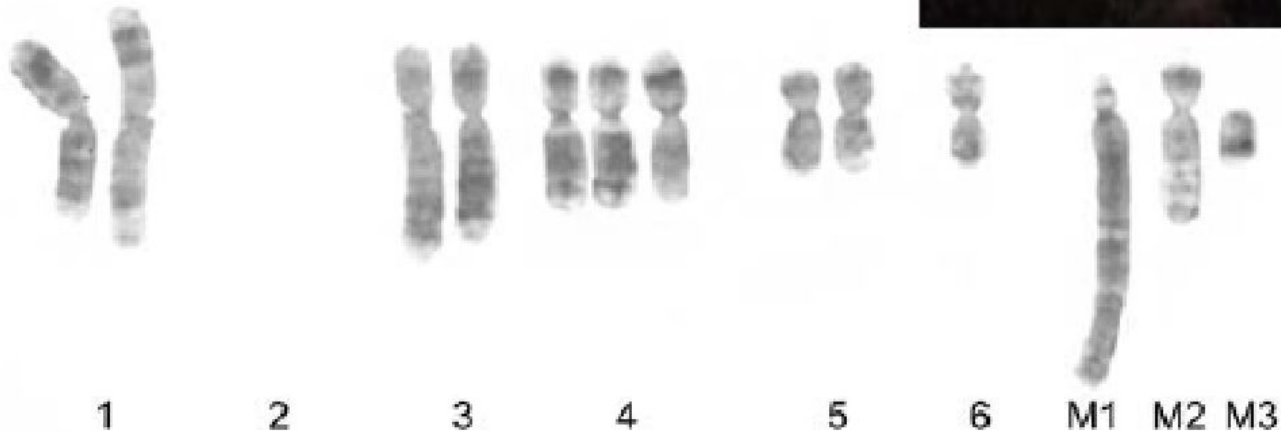
A



b



B



Таманские дьяволы действительно высоко изогенны по генам МНС

Table 3. MHC genotyping of Tasmanian devils used for skin graft experiments.

Tasmanian devil ID	MHC I α 1 sequence variants	MHC II β 1 sequence variants
TD 190	Sahal*27, 28, 32, 35, 49	SahaDAB*01, 03, 05
TD 199	Sahal*27, 28, 32, 35, 49	SahaDAB*01, 03, 05
TD 187	Sahal*28, 32, 35, 49, 57	SahaDAB*01, 03, 05, 12
TD 200	Sahal*27, 28, 32, 35, 49	SahaDAB*01, 03, 05, 11
TD 188	Sahal*27, 32, 35, 49	SahaDAB*01, 03, 05, 15
TD 189	Sahal*27, 32, 35, 48	SahaDAB*01, 03, 05, 11, 15
TD 191	Sahal*28, 32, 34, 48, 49	SahaDAB*01, 03, 05, 13

TD 190 and TD 199 shared all MHC I and II alleles. The remaining devil pairs had two to three MHC I allelic mismatches and one to two MHC II allelic mismatches.
doi:10.1371/journal.pone.0022402.t003

Table 4. Amino acid difference count at peptide binding sites and MLR results within skin graft devil pairs.

Tasmanian devil ID	Amino acid difference count at peptide binding sites at MHC I α 1	Amino acid difference count at peptide binding sites at MHC II β 1	Mixed lymphocyte reaction (SI)
TD 190 and TD 199	0	0	1
TD 187 and TD 200	0	0	1
TD 188 and TD 189	2	0	17
TD 190 and TD 191	0	0	5

TD 188 and TD 189 had two amino acid differences at peptide binding sites at MHC I α 1 and had a strong MLR response. The other three pairs did not have amino acid difference count at peptide binding sites at MHC I α 1 or MHC II β 1 and had low MLR responses.

doi:10.1371/journal.pone.0022402.t004

Разницы генотипов между больными и здоровыми дьяволами нет

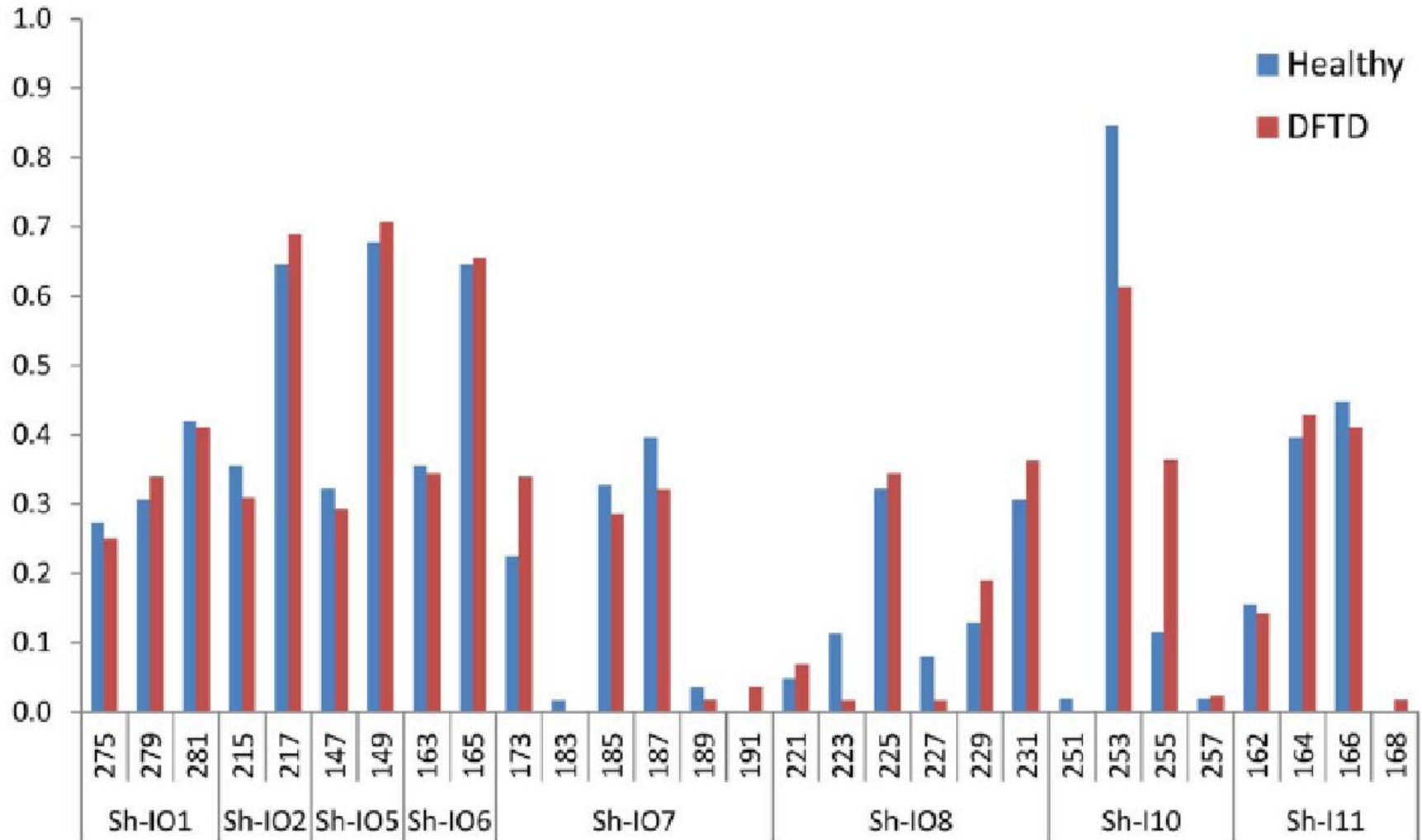


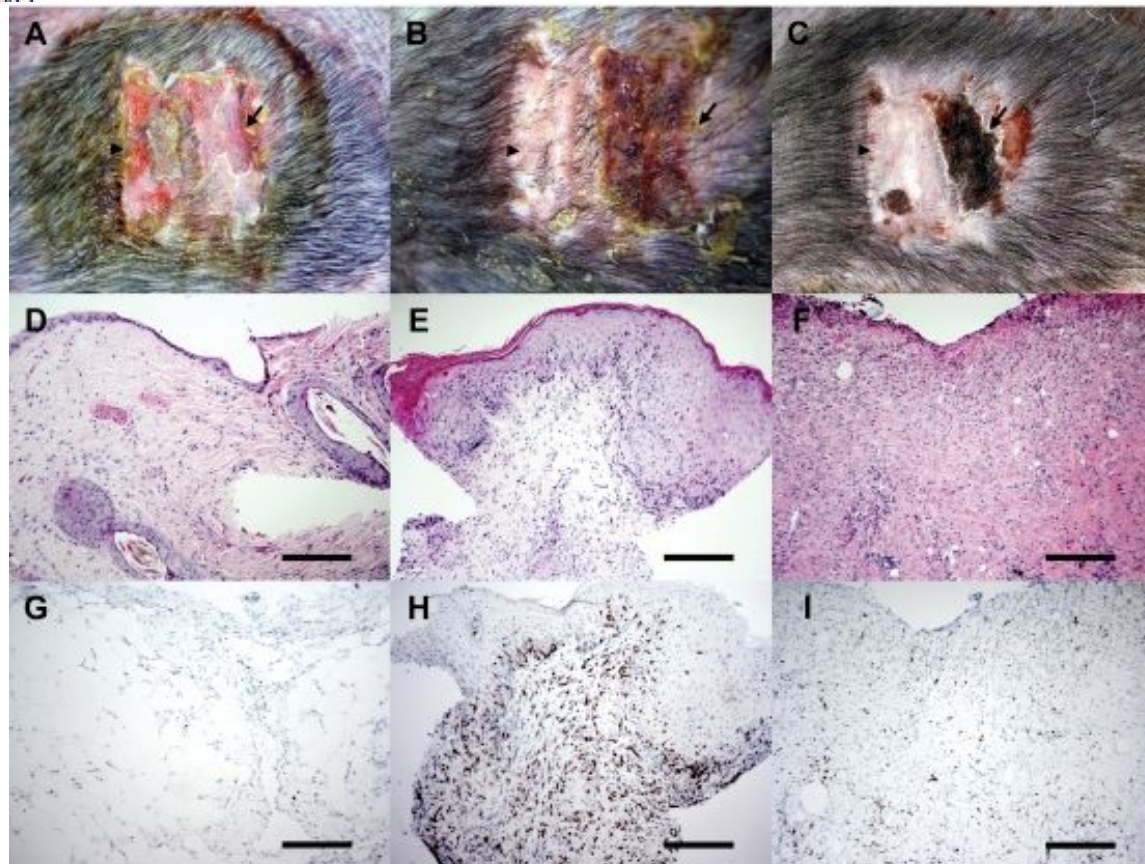
Figure 2. MHC-linked microsatellite loci allele frequencies showing little variation between healthy and DFTD infected devils.

Отторжение аллогraftов у тасманского дьявола

Table 2. Outcome of skin allografts.

Tasmanian devil ID	Day 7	Day 14	Day 21
TD 190	Grade II	Grade IV	Necrotic skin, biopsy not done
TD 199	No evidence of rejection	Grade III	Grade IV
TD 187	Unable to determine rejection	Grade IV	Necrotic skin, biopsy not done
TD 188	No evidence of rejection	Grade III	Grade IV
TD 191	No evidence of rejection	Grade III	Necrotic skin, biopsy not done

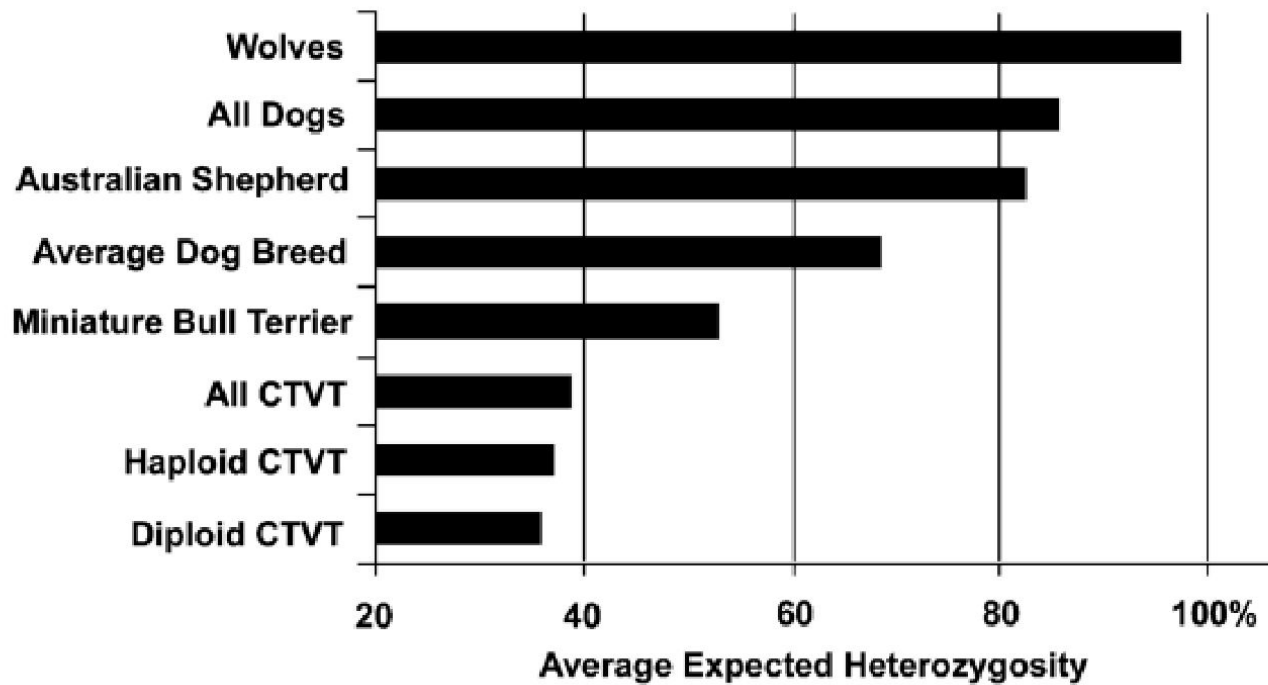
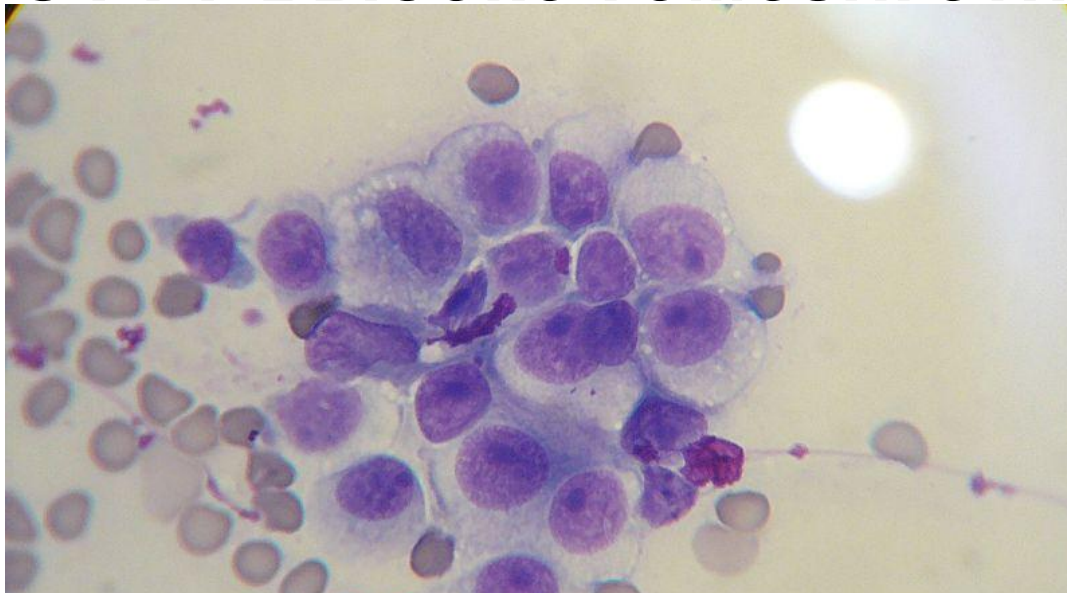
TD 190 was the only devil that showed an early rejection response at Day 7. All five devils had Grade III to Grade IV rejection at Day 14 and Day 21.



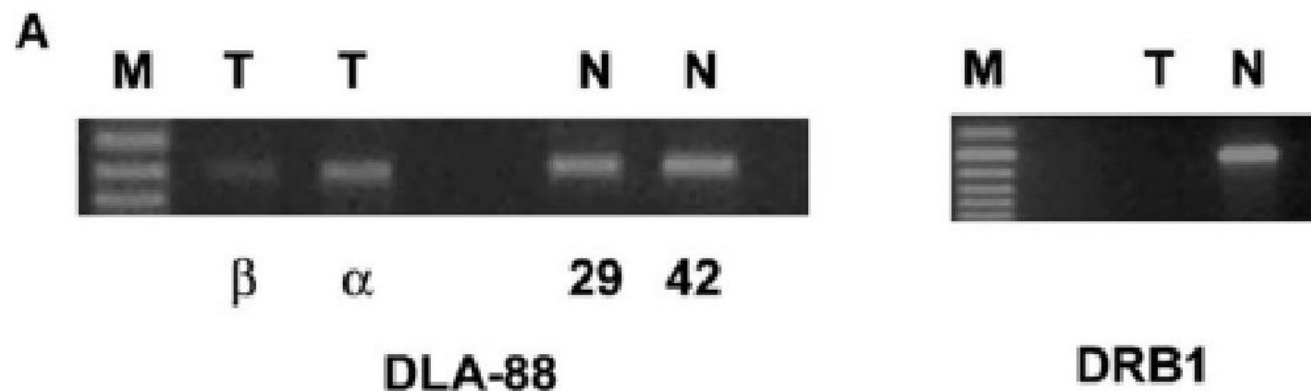
Венерически передаваемая опухоль собак - СТТТ



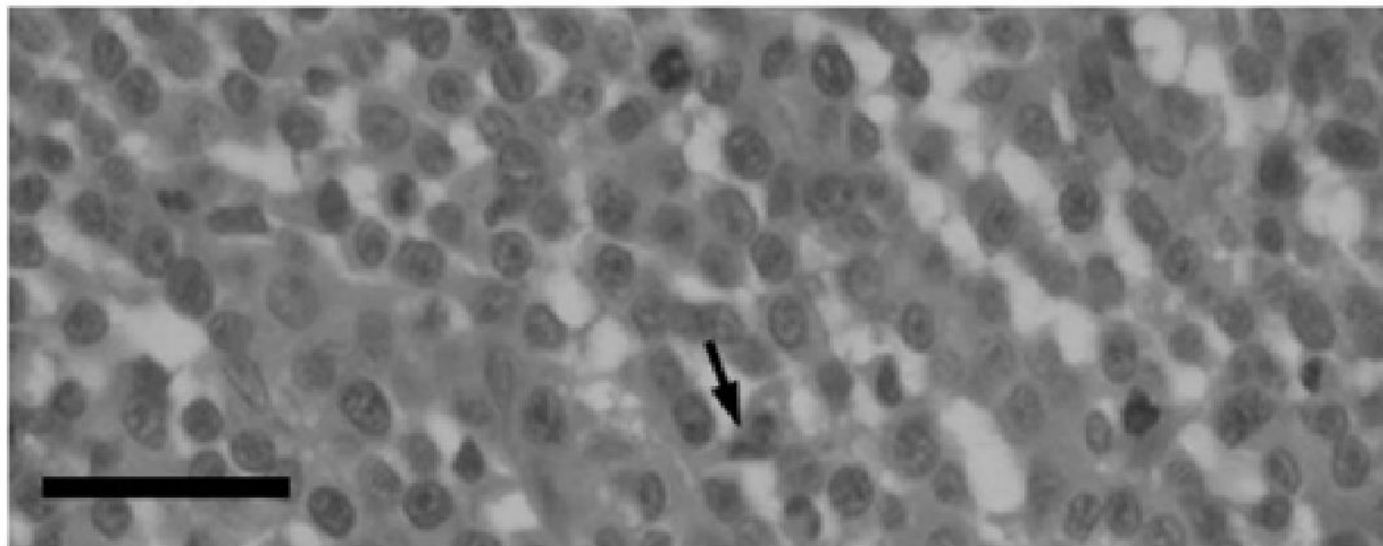
CTVT ВЫСОКО ГОМОЗИГОТНА



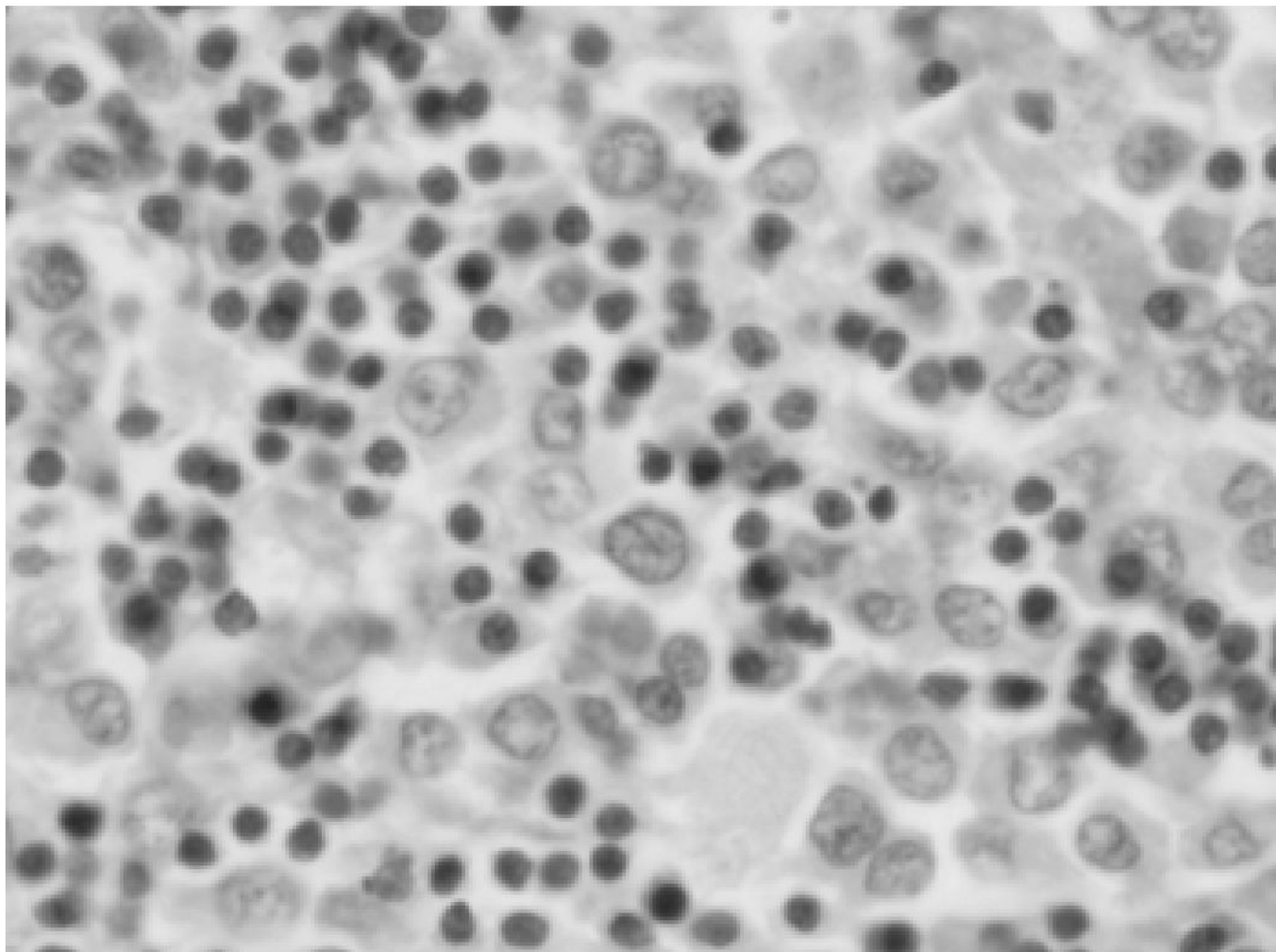
Стадия прогрессии СТТТ и сниженная экспрессия МНС



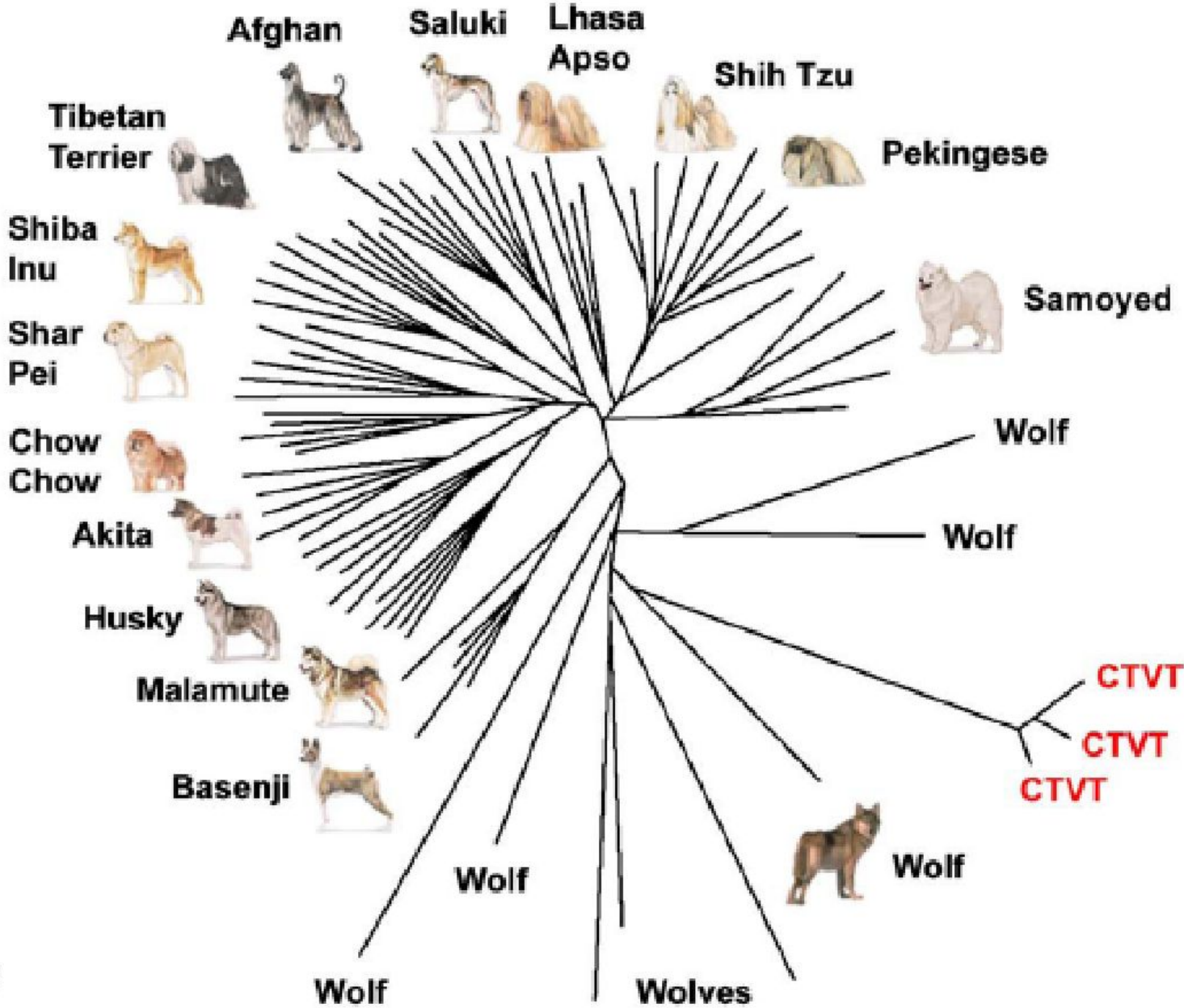
B



Стадия регрессии СТ VT



Происхождение СТ VT и передача от волка собаке

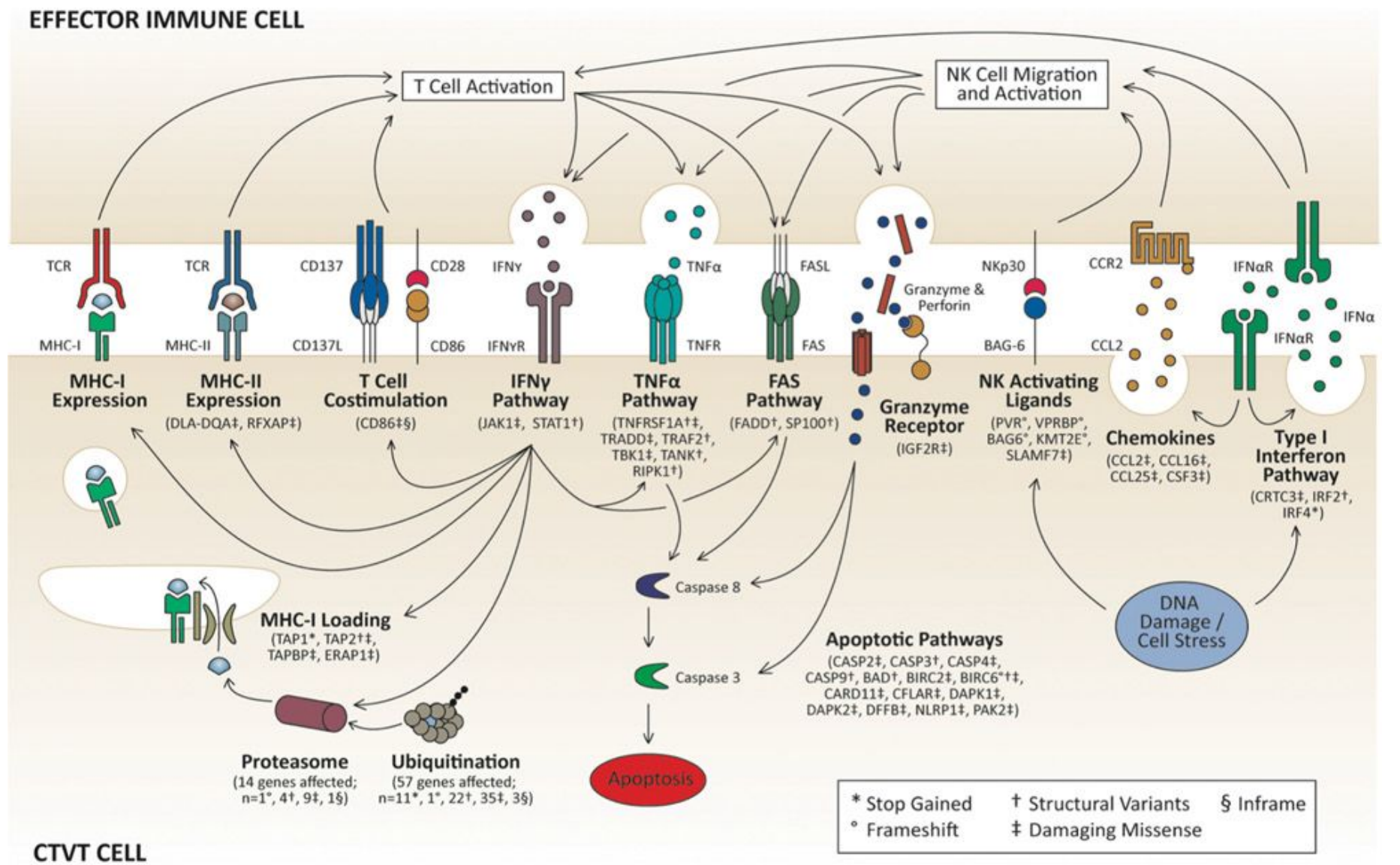


B

Table 2 Comparison of DFTD and CTVT

	<i>DFTD</i>	<i>CTVT</i>
Host species	Tasmanian devil	Dog
Species of origin	Tasmanian devil	Wolf or dog
Distribution	Mainland Tasmania (excluding northwest)	Worldwide
Time of origin	15–20 years ago	7800–78 000 years ago
Body location	Face, oral cavity	External genitalia
Mode of transfer	Biting	Coitus
Histogenesis	Neuroendocrine	Myeloid
Metastasis	Common	Common in immune- compromised animals
Spontaneous regression	0%	Common in experimen- tally inoculated CTVT, prevalence in naturally occurring CTVT unknown
Mortality	100%, within 6–12 months after appearance of symptoms	Rare in experimentally inoculated CTVT, pre- valence in naturally occurring untreated CTVT unknown
Treatment	None	Chemotherapy, radiation therapy
Effect on host population	Host population decline/possible imminent extinction	Probably little effect

Многие гены СТТВ несут мутации потери функции



На самом деле, устойчивость DFTD вызвана эпигенетическим подавлением экспрессии TAP1, TAP2 и β_2 -микроглобулина, что ведет к снижению у нее количества МНС I

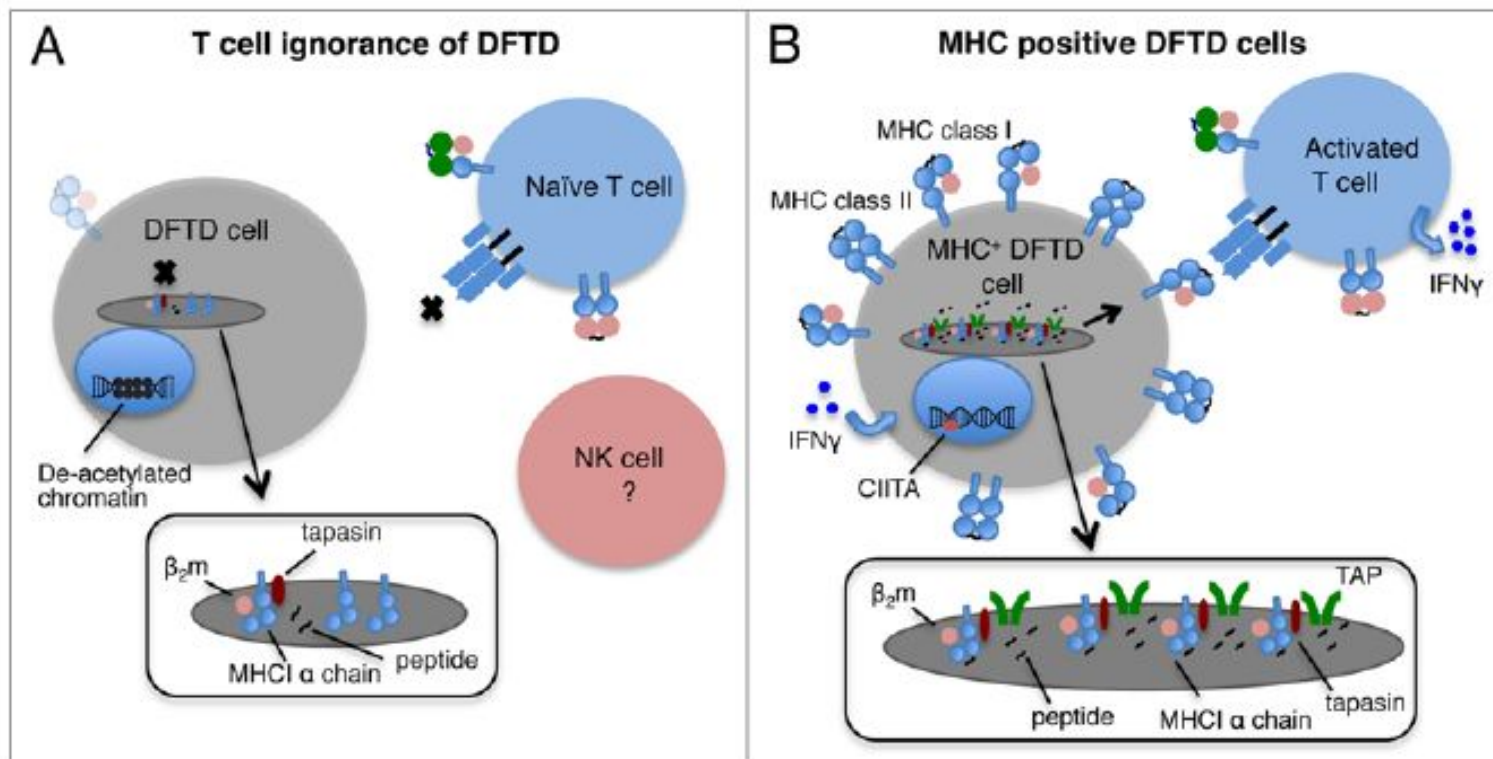
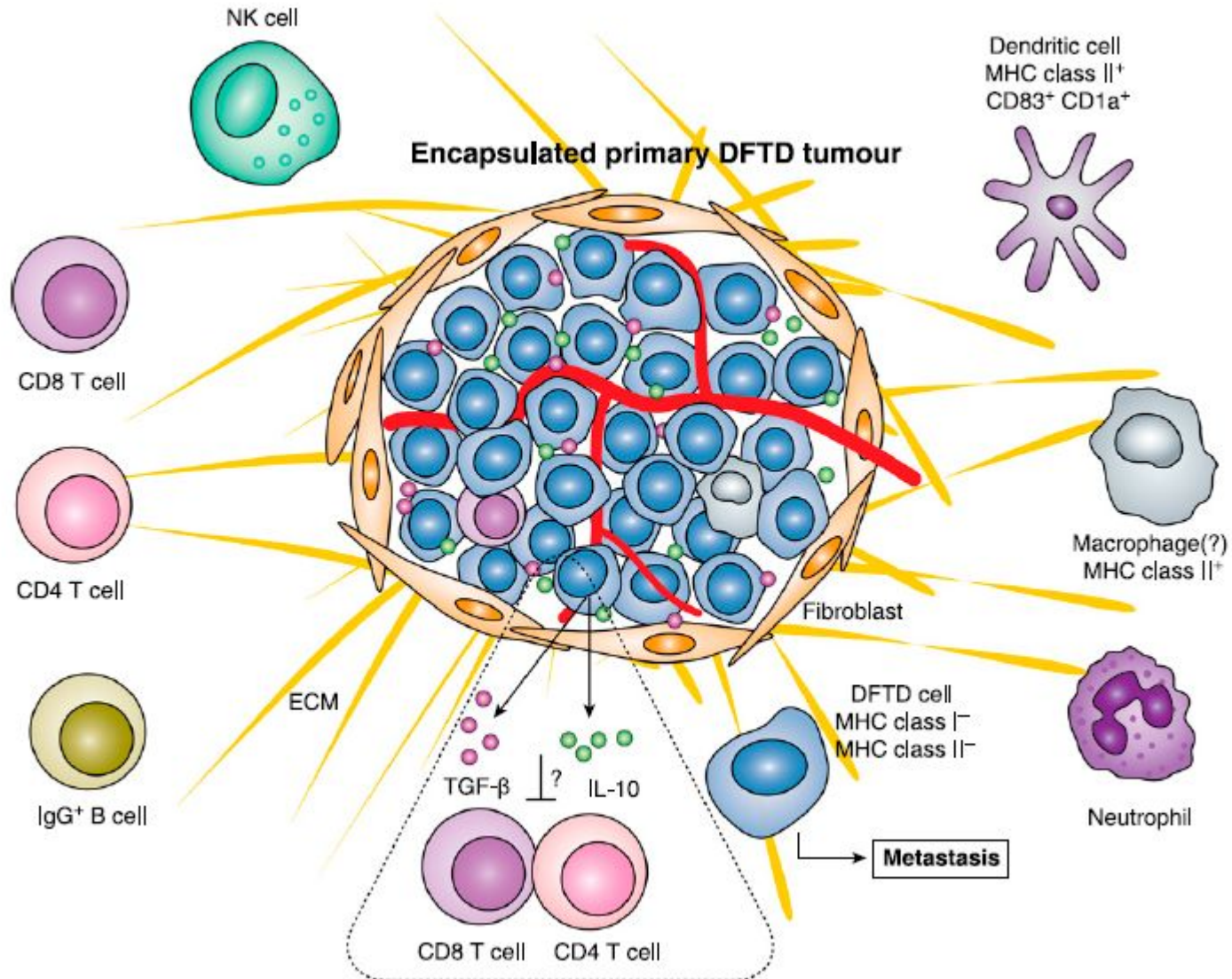
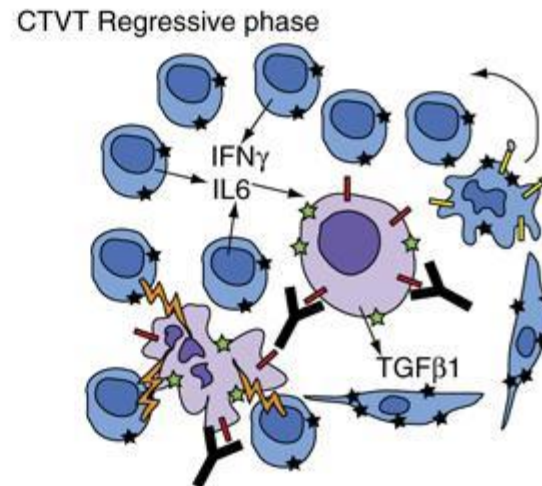
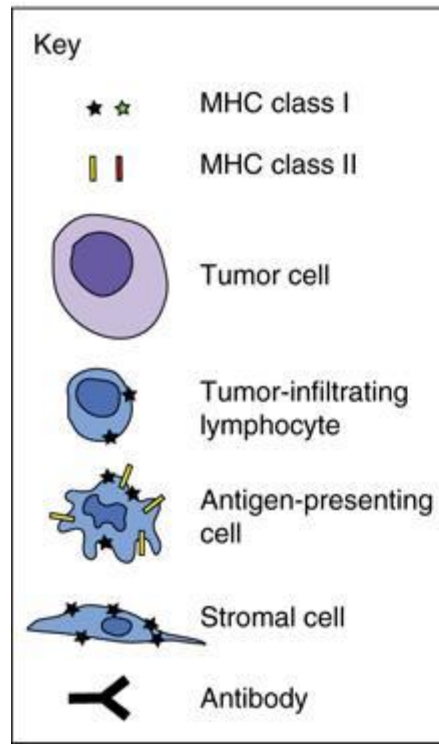
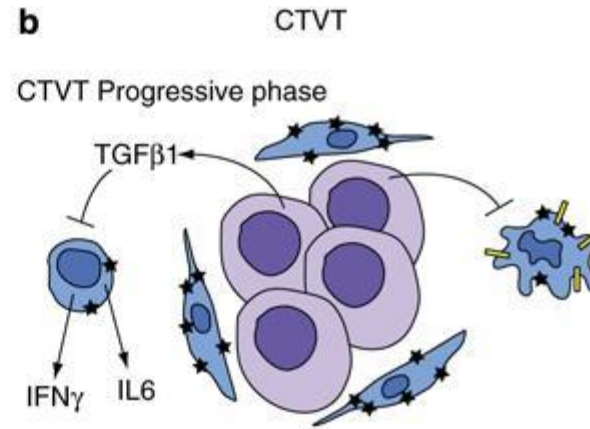
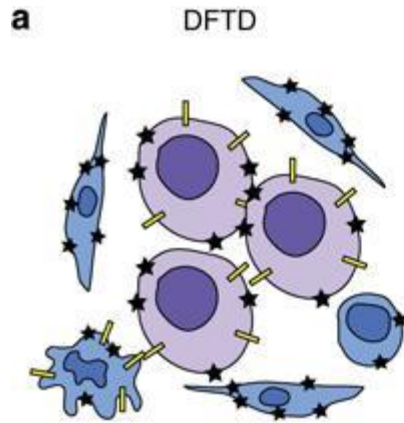


Figure 1. Mechanisms of immune evasion by DFTD cells. (A) Devil T lymphocytes fail to recognize devil facial tumor disease (DFTD) cells as the latter lack MHC molecules on their surface. This is mainly due to the deacetylation-dependent repression of transcription from β_2 -microglobulin (β_2m), transporter associated with antigen presentation (TAP) 1 and TAP2-coding genes. In this situation, MHC Class I heavy chains are produced but retained in the endoplasmic reticulum (ER). Low levels of MHC Class I molecules may be found on the surface of DFTD cells owing to the synthesis of trace amounts of β_2m and to peptides derived from ER-resident proteins. (B) DFTD cells can re-express MHC Class I molecules on their surface. Upon interferon γ (IFN γ) treatment of DFTD cells, β_2m , TAP1, TAP2, MHC Class II molecules and the transcription factor Class II transactivator (CIITA) are upregulated and MHC Class I molecules are expressed on the cell surface. Devils vaccinated with MHC Class I-expressing DFTD cells are expected to activate a protective T-cell response. Insets represent magnified view of the ER.

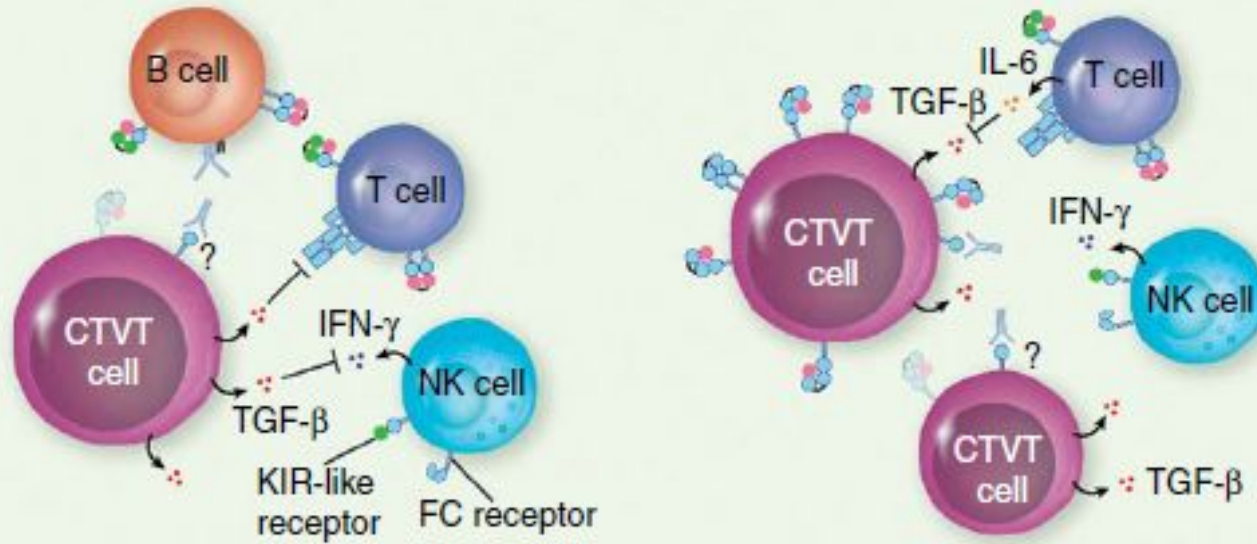
Толерогенное действие клеток DFTD



Сравнение DFTD и CTVT



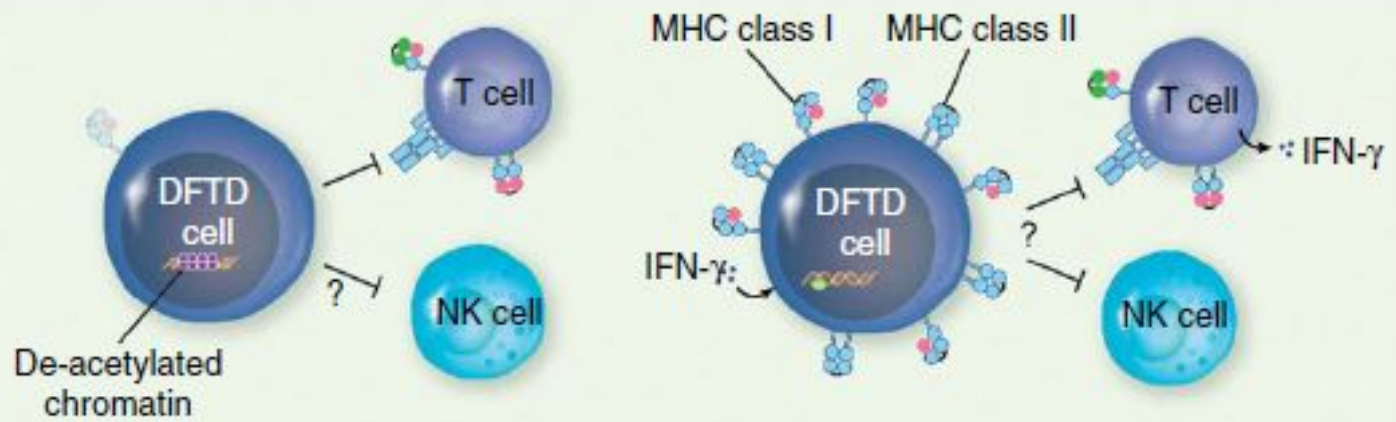
(a) CTVT progression



(i) Growth phase

(ii) Regression phase

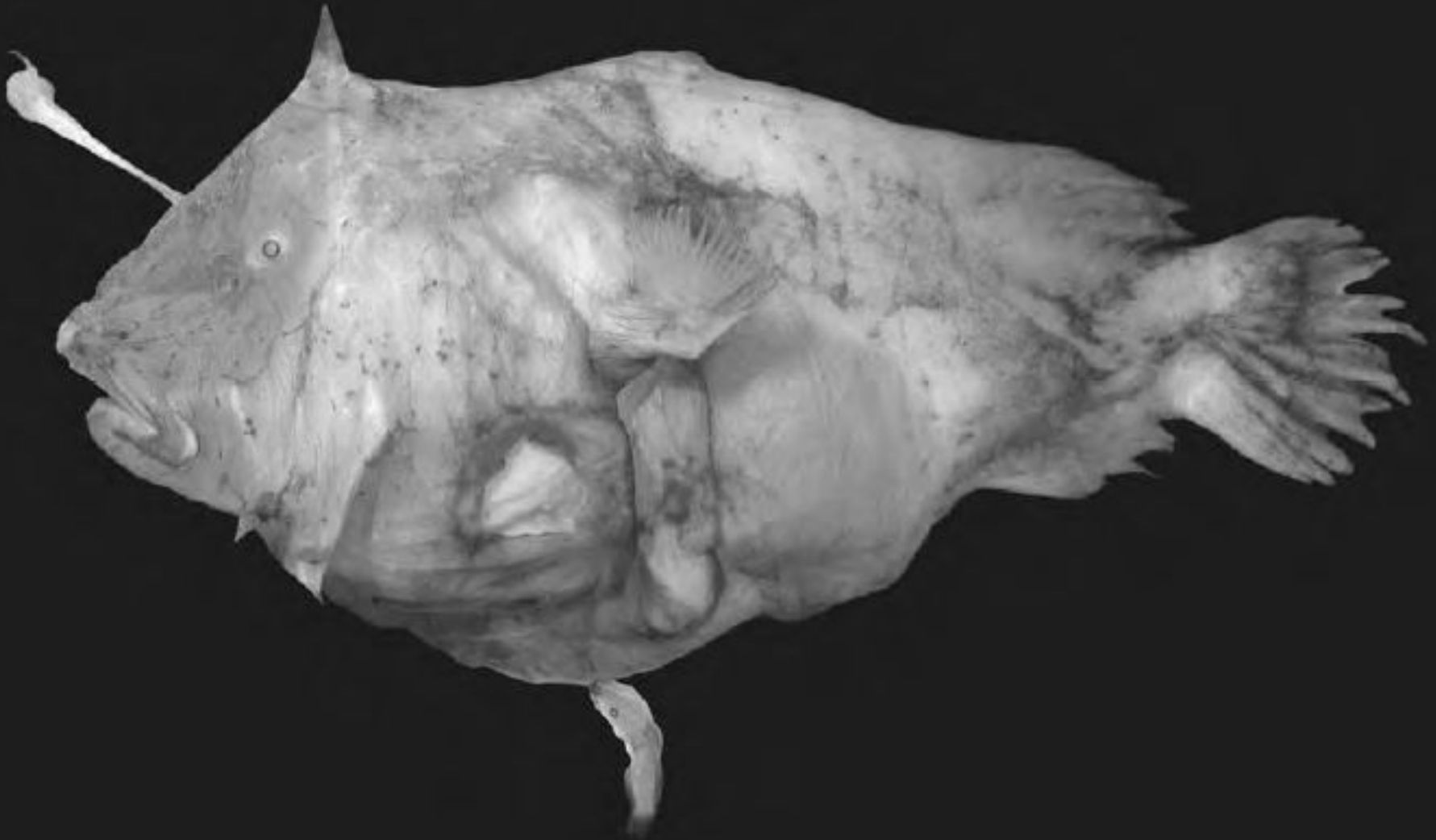
(b) DFTD progression



(i) Before IFN- γ treatment

(ii) After IFN- γ treatment

Паразитизм карликовых самцов удильщиков – потенциальная иммунологическая модель?



Ткани самца и самки удильщиков срастаются

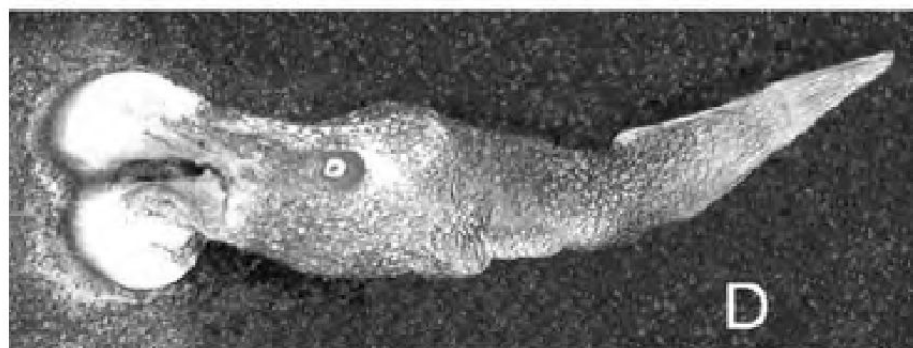


Fig. 8. Parasitic and temporarily attached males. **A** *Caulophryne polynema*, 15 mm, parasitically attached to a 137-mm female, MNHN 2001-140; **B** *Melanocetus murrayi*, 15 mm, temporarily attached (without tissue fusion) to a 73-mm female, BSKU 57842; **C** *Bertella idiomorpha*, 11 mm, parasitically attached to a 77-mm female, UW 48712; **D** *Cryptopsaras couesii*, 10 mm, parasitically attached to a 45-mm female, ARC 8707665; **E** *Neoceratias spinifer*, 18 mm, parasitically attached to a 108-mm female, SIO 70-336

- Следующая лекция 2 апреля – об иммунитете Круглоротых